

Memoria Descriptiva de la Patente de Innovación sobre: “ANALIZADOR DE ESPECTRO”

A. A. Baldini, N. H. Gimenez, T. A. Pentacolo, L. D. Rispoli.

baldiniaxel@gmail.com, nicolas.hernan.gimenez@gmail.com, pentacoloagustin@gmail.com, rispoli_luciano@yahoo.com.ar

Resumen - La presente publicación instituye una memoria descriptiva, acerca del proceso de investigación y desarrollo sobre un Analizador de Espectro. El mismo es llevado a cabo por los suscriptores para la citada cátedra de estudios. Se aborda lo relacionado al marco teórico y el desarrollo de un dispositivo en el rango de modelo de prueba, mediante la utilización de Arduino Due.

Palabras Claves – Analizador de Espectros Digital, Arduino Due, Filtro Hamming, FFT.

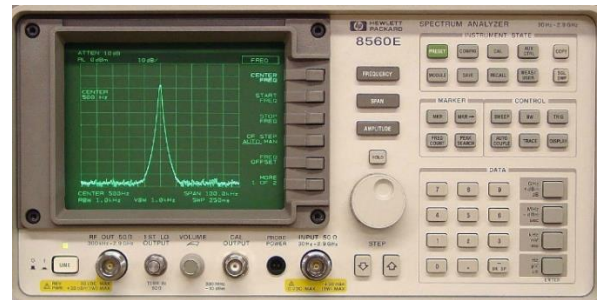


Fig. 2 Espectro de una señal sinusoidal

1. CONSIDERACIONES GENERALES

A. Definición

Un analizador de espectro es un instrumento de medición de señales eléctricas, el cual nos permite registrar y visualizar el espectro de potencia de una señal eléctrica en la entrada, en función de la frecuencia. Es decir, nos permite ver de forma cuantificada las distintas intensidades frecuenciales de la señal, sin importar el origen de la misma (eléctrica, acústica u óptica.), en el dominio de la frecuencia.

Además, no permiten medir el índice de modulación de las señales, ruido, potencia, entre otras cosas.

Dicho espectro suele ser mostrado a través de una pantalla, pero también pueden guardarse los datos obtenidos para analizarlos posteriormente (dependiendo del equipo).



Fig. 1 Analizador de Espectro Owon XSA1032-TG

En la Fig. 2, vemos el espectro de una señal sinusoidal. Si bien esta debería ser una función delta, al tratarse de señales reales; en la realidad, se aproximan a las señales teóricas. Es normal que existan otros componentes frecuenciales; sin embargo, se ve claramente que existe un pico en la frecuencia de 500 [Hz].

B. Principales Características

Para empezar, tratamos con un dispositivo que analiza las señales en el dominio frecuencial, un dominio infinito, por ende, la principal especificación es la **acotación frecuencial** que presenta el dispositivo, es decir el ancho de banda que podrá medir. Además, trabajamos con señales eléctricas donde lo que varía es la tensión en función del tiempo, y todos los dispositivos que trabajan con tensiones tienen **máximos de tensión permitidos** antes de que el dispositivo se dañe, por lo que es importante saber cuáles son las **tensiones de entrada máxima** del dispositivo. Cabe aclarar que generalmente se trabaja con señales de información que no se suele trabajar con altas tensiones, pero siempre es importante conocer los límites de nuestros instrumentos para evitar problemas en su operación.

Otra especificación de importancia es la **impedancia de entrada**, ya que, al trabajar con señales de información raramente trabajamos con corrientes altas, al menos en los puntos que utilizamos para medir, esto significa que si nuestro instrumento tiene una impedancia de entrada muy baja comparado al punto que queremos medir, estaremos alterando la señal, despreciando la misma. Por esto es importante tener en cuenta nuestra impedancia de entrada y de ser posible realizar las mediciones en puntos donde la impedancia

del circuito sea considerablemente menor que el del instrumento, de esta forma lograremos medir correctamente las características frecuenciales de la señal.

Otras especificaciones importantes son, el tipo de instrumento, si es **analógico**, **hibrido** o **digital**. En caso de ser digital o hibrido, la posibilidad de **utilizar diferentes ventanas** para analizar las señales. Luego de esto, ya podemos entrar en especificaciones de comodidad, que permita tener pre-configuraciones para analizar los datos en la pantalla, que nos permita guardar la señal o información de la misma, con la mayor comodidad.

C. Modelos en el mercado argentino

Solo se muestran los modelos de fácil acceso a compra por estar a la venta directa sin requerir pedido al exterior y limitaciones por el estado cambiario de moneda.



Fig. 6 Siglent SSA3000X.(USD 2600 - USD 1550)



Fig. 7 Owon XSA1000TG.(USD2400 - USD 1350)

2. MARCO TEÓRICO

A. Esquema Básico

El analizador de espectros, realiza un análisis de señales dinámicas. Esto implica transformar una señal en el dominio del tiempo al dominio de la frecuencia. Es dinámico, porque la señal varía con el tiempo a medida que realizamos la transformación.

Para esto se emplea el algoritmo de **Transformada rápida de Fourier (FFT)**.

El diagrama de bloques básico de un analizador de señales dinámicas o analizador de espectros se muestra en la siguiente figura.



Fig. 3 Esquema general de un Analizador de Espectro

1) **Muestreo y digitalización:** La señal en el dominio del tiempo debe ser muestreada; antes de ser digitalizada y provista al procesador FFT. Las muestras deben ser una réplica de la señal original y, por lo tanto, la velocidad de muestreo es importante. Debe confirmar el **Teorema de Muestreo de Shannon** y los criterios de Nyquist.

Después de muestrear la señal, la digitalización se realiza mediante el **convertidor de analógico a digital (ADC)**. El **muestreador** debe procesar la entrada exactamente en el momento correcto y debe mantener con precisión el voltaje de entrada medido en este momento hasta que el ADC haya terminado su conversión. El ADC debe tener alta resolución y linealidad.

Por ejemplo, para 70 [dB] de rango dinámico, el ADC debe tener al menos 12 [bits] de resolución y la mitad de linealidad de bits menos significativa.

Habiendo digitalizado cada muestra, se toma N muestras consecutivas, igualmente espaciadas, lo que se llama **registro de tiempo**, como nuestra entrada al procesador FFT. Para facilitar la simplificación, generalmente tomamos N como un múltiplo de 2.

2) **Procesado por FFT:** El **procesador FFT** transforma el registro de tiempo de entrada en un bloque completo de líneas de frecuencia. Esto se ejemplifica en la siguiente figura:

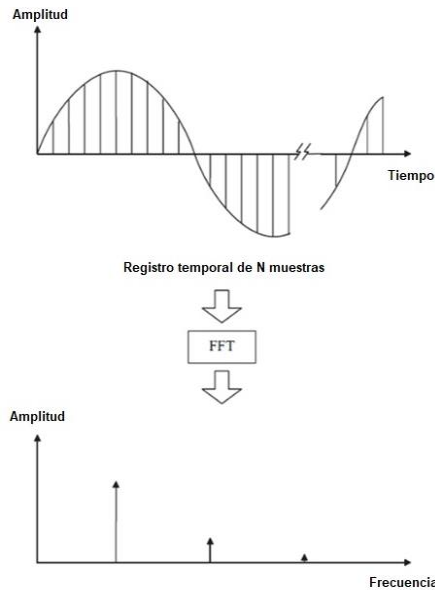


Fig. 4 Esquema general de un procesamiento por FFT

Como la FFT transforma todo el bloque de registro de tiempo en un bloque de líneas de dominio de frecuencia.

No puede haber un resultado de dominio de frecuencia válido hasta que se complete el registro de dominio de tiempo. Sin embargo, una vez que el registro de tiempo se llena inicialmente, en la siguiente instancia de muestreo, la muestra más antigua puede descartarse y la nueva muestra puede ser agregado. Esto, a su vez, permite que todas las muestras se desplacen en el registro de tiempo como se muestra en la siguiente imagen.

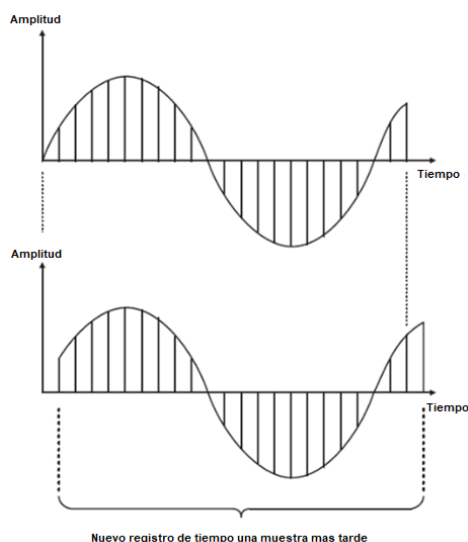


Fig. 5 Muestras desplazadas en el registro Tiempo

Finalmente, el bloque de líneas de dominio de frecuencia que sale del procesador FFT se muestra a través del **display**.

A. Esquema Avanzado

Nos dedicaremos a centrar la pesquisa en los Analizadores de espectro digitales.

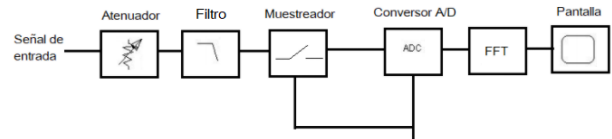


Fig. 8 Diagrama en bloques simplificado de un analizador de espectro

La Fig. 8 muestra el diagrama en bloques de un analizador de espectro. La señal de entrada pasa primero a través de un **atenuador variable**, proporcionando varios rangos de adecuación de la señal. Posteriormente, la señal se filtra mediante un **filtro paso bajo**; para eliminar el contenido de altas frecuencias las cuales son superiores al rango de frecuencias del instrumento.

Posteriormente, la señal es muestreada y convertida a formato digital mediante la combinación de un **muestreador** (en inglés: **SAMPLER**) y un **convertidor de señal analógico a digital** (ADC).

Finalmente, se calcula su espectro mediante un **módulo de FFT** para luego ser visualizado en la **pantalla del analizador** (DISPLAY).

B. Atenuador

Los atenuadores, se utilizan para reducir la amplitud o potencia de una señal sin distorsionar la forma de onda de la misma; el cual se coloca entre la señal de entrada y nuestro instrumento.

La entrada del analizador de espectros, en el diagrama de bloques, contiene un atenuador con el objetivo de controlar la señal que se aplica al circuito.

Si el nivel de señal es demasiado grande, los circuitos distorsionarán la señal generando productos de distorsión que se añaden a la señal de entrada (Fig. 9).

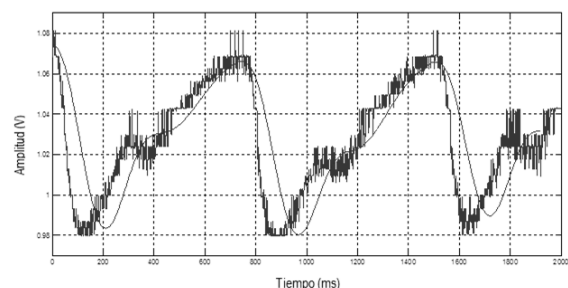


Fig. 9 Espectro de una señal sinusoidal

Si el nivel de señal es demasiado pequeño, la misma puede resultar enmascarada por el ruido presente en el analizador.

Algunos instrumentos proporcionan una característica de auto-rango que automáticamente selecciona la mejor atenuación.

C. Filtros

En esta ocasión, se aprovechó la utilización de un amplificador operacional para hacer un filtro activo pasa bajo de segundo orden; el cual el circuito integrado **LM358** tiene un ancho de banda máximo de 1 [MHz]. Esta característica será la limitante del amplificador operacional según datasheet.

La principal característica de colocar este amplificador operacional es tener una alta impedancia a la entrada, para no distorsionar o consumir energía de la señal a medir.

Por otra parte, este filtro es el encargado de discriminar las frecuencias altas que quedaran fuera del rango de operación del instrumento.

El filtro activo implementado (Fig. 10) se denomina **Sallen-Key** de segundo orden y su circuito general es como se muestra en la siguiente imagen.

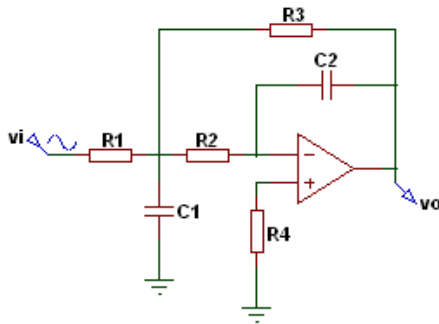


Fig. 10 El filtro activo Sallen-Key

Deduciendo del circuito anterior, podemos obtener su función de transferencia que será:

$$\frac{v_o}{v_i}(s) = \frac{\left(1 + \frac{R_b}{R_a}\right) \frac{1}{C_1 C_2 R_1 R_2}}{s^2 + s \left(\frac{1}{C_1 R_2} + \frac{1}{C_1 R_1} - \frac{R_b}{C_2 R_2 R_a} \right) + \frac{1}{C_1 C_2 R_1 R_2}} \quad (1)$$

El mismo fue simulado y calculado de la siguiente manera:

$$f_c = \frac{1}{2\pi\sqrt{R_3 \cdot R_4 \cdot C_1 \cdot C_2}} \quad (2)$$

La frecuencia de corte la fijaremos en 10 [MHz] debido a que no es un filtro ideal y posee una banda de transición, por lo tanto, para obtener el rango de trabajo adecuado para nuestro instrumento fijamos una frecuencia de corte superior.

Los capacitores C2 y C1 adoptamos el valor de un 1[nF].

Adoptamos $R_3 = R_4$ y despejando:

$$R_3 = R_4 = \frac{1}{2\pi \cdot f_c \cdot \sqrt{C_1 \cdot C_2}} \quad (3)$$

En la siguiente imagen podemos observar la simulación y la respuesta en frecuencia del mismo.

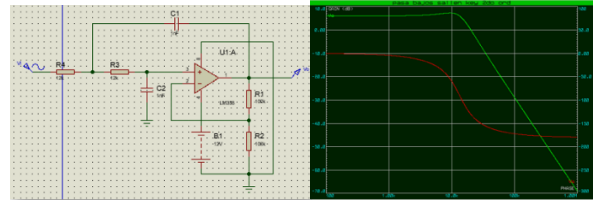


Fig. 11 Simulación y respuesta en frecuencia.

Como se observa en la Fig. 11, la curva de color verde es la fase, y la curva de color roja es la salida del filtro.

D. Muestreo y Digitalización

Como en todos los instrumentos y dispositivos que trabajen con señales analógicas de forma digital, el analizador de espectro requiere de alguna etapa que se encargue de convertir las señales analógicas en digitales. Se mencionó previamente que este dispositivo es llamado Conversor de Señal Analógico a Digital (Analog to Digital Converter (ADC)). El mismo cuentan con dos propiedades importantes y que determinan su calidad, estas son:

- Resolución de cuantificación

- Frecuencia de muestreo

La primera determina la exactitud que posee el ADC a la hora de obtener los valores de amplitud de la señal analógica, mientras que la segunda determina el número de muestras que toma el ADC en un segundo.

La principal limitación que presenta la frecuencia de muestreo en la mayoría de los instrumentos es respecto a la frecuencia máxima para la cual el instrumento es sensible (esta sensibilidad se debe a un filtro pasa bajos que elimina todos los armónicos en la señal que producirían solapamiento (**aliasing**)).

En los analizadores de espectro digitales la frecuencia de muestreo también cumple este rol; pero, además, la resolución del analizador de espectro depende de esta frecuencia, así como también de la cantidad de muestras utilizadas.

Cabe aclarar, que la manera de interpretar el termino “resolución” es diferente en instrumentos que trabajan en el campo temporal respecto a instrumentos que trabajan en el campo frecuencial como el analizador de espectro, ya que en los primeros hablamos de la

resolución de la señal muestreada, mientras que en los segundos hablamos de la cantidad de frecuencias que podemos analizar; definiéndose de esta manera la **resolución frecuencial**.

También se afecta la resolución de la señal muestreada en los instrumentos de campo frecuencial, pero en menor medida, ya que, si bien queremos saber los valores de potencia, muchas veces lo que buscamos es obtener información sobre las frecuencias utilizando como referencia la potencia. Por ejemplo, lo que nos interesa es saber si existe un pico en una frecuencia f_1 y obtener un valor aproximado de su potencia. Por ende, es preferible una mayor resolución frecuencial sacrificando un poco de resolución en cuanto a la potencia calculada.

La resolución frecuencial depende tanto de la frecuencia de muestreo como de la cantidad de valores procesados (cantidad de muestras).

Suponiendo una frecuencia de muestreo fija (lo cual ocurre ya que no se puede variar la misma dependiendo de la señal de entrada), lo anterior nos da una idea de que mientras más muestras tome nuestro instrumento mejor será la resolución. Si bien esto en principio es cierto, hay que tener en cuenta que estamos trabajando con dispositivos electrónicos, los cuales tienen limitaciones a la hora de realizar cálculos. Por ende, un valor de muestras excesivamente alto solo haría que el sistema deje de funcionar de forma eficiente. En consecuencia, hay que ensayar buscando el mayor número de muestras para las cuales nuestro procesador pueda aplicar la FFT en un tiempo menor a un periodo de muestreo, de esta forma cuando entre un nuevo dato podemos procesarlo.

Como ya se dijo, a veces conviene sacrificar resolución en la señal para ganar resolución frecuencial, esto significa en vez de trabajar con un ADC de 10 [bits], los cuales nos darán enteros de 0 a 1023, nos conviene trabajar con un ADC de 8 [bits], es decir de 0 a 255; de esta forma tanto la conversión durante el muestreo así como el tiempo de cálculo de la FFT disminuirá considerablemente, permitiéndonos utilizar con una misma frecuencia de muestreo una mayor cantidad de datos, lo que significa una mayor resolución frecuencial.

La forma de tomar los datos constará de tener un vector de 2^7 valores¹, los cuales están inicializados en "0", y cumplen el rol de una cola de datos. Es decir, cada vez que entra un nuevo dato, todos rotan y el último elemento de la cola se elimina.

E. Transformada Rápida de Fourier

1) *Historia*: El primer antecedente de la Transformada Rápida de Fourier (FFT) no fue encontrado hasta al haberse redescubierto el algoritmo en la década del 60.

Muchos investigadores han hecho uso en diferentes áreas por fuera de la matemática, pero con el

interés solo de resolver su problema físico e incluso sin divulgación por considerarlo de poca validez para otras áreas. Es el caso de P. Rudnick, que lo desarrolló su mejora para un estudio en su área de oceanografía, basándose en un paper de G. C. Danielson & C. Lanczos (1942) usado en el área de difracción de rayo X; y posteriormente, una vez que vio el auge de el algoritmo planteado por J.W. Cooley & J. W. Tuckey en 1965.

Para cuando Rudnick trató de establecer que había desarrollado el método de forma personal, sin contacto con Cooley y Tuckey; la popularización hizo que nadie lo tuviera en cuenta para el crédito, a amen de Cooley y Tuckey reconocieron que era el método de ellos y que se descubrió por forma separada uno tiempo antes.

También la historia, dio también como autor a C. F. Gauss que descubrió el método un siglo antes (1805). Su algoritmo fue desestimado por él y publicado en una recopilación póstuma. Él lo usó para describir la trayectoria del asteroide Pallas y la forma escrita estaba relacionada con la forma de Euler en términos de cosenos y senos.

La moraleja de esto es: **tener debidamente documentado todo**, uno nunca sabe para qué puede servir o servir y mejorar otra área, tan o más importante que la nuestra.

Luego del paper de Cooley y Tukey en 1965, muchos investigadores incursionaron a investigar esta área obteniendo mejoras cada vez más importantes y en área de señales n-dimensionales.

A continuación, un listado cronológico de los hitos y autores en descubrimientos de la FFT.

¹ Cfr. Sección 2. E: Transformada Rápida de Fourier

Investigador	Fecha
C.F. Gauss	1805
F. Carlini	1828
A. Smith	1846
J. D. Everett	1860
C. Runge	1903
K. Stumpff	1939
G. C. Danielson & C. Lanczos	1942
L. H. Thomas Teorema del resto chino	1948
I. J. Good Teorema del resto chino	1958
J. W. Cooley & J. W. Tukey	1965
P. Rudnick	
C. M. Rader & Brenner Convolucion Ciclica por dos FFT ordinarias	1968
L. Bluestein Algoritmo (Chirp-Z) Transformada CZT	1968
S. Winograd (Otras formas Convolucion)	1976
G. Bruun Factorización polinomial recursiva inusual en potencias de 2	1978
H. Murakami Tamaños compuestos arbitrarios	1996
J. B. Birdsong & N. I. Rummelt Cuadrículas hexagonales FFT Bidimensional	2016

Fig. 12 Hitos Historicos

2) La Transformada Rápida de Fourier:

a) Introducción: La Transformada Rápida de Fourier (Fast Fourier Transform: F.F.T.) es un algoritmo matemático, que nos permite hallar la Transformada Discreta de Fourier, de una forma más veloz debido a una importante reducción de cálculos.

A su vez, este eficiente algoritmo (en términos de tiempo), puede ser adaptado para recuperar la señal en dominio tiempo sin utilizar la ecuación de síntesis en el sentido clásico. El uso de esta implementación del algoritmo se la conoce como Transformada Rápida Inversa de Fourier (Invert Fast Fourier Transform: L.F.F.T.).

Nosotros explicaremos los algoritmos desarrollados por J.W. Cooley y J.W. Tukey en 1965.

b) Algoritmo de Cooley-Tukey: Recordando que la transformada discreta de Fourier posee la siguiente formula:

$$X(e^{i\omega}) = \sum_{n=-\infty}^{\infty} x[n] \cdot e^{-i\omega n} \quad (4)$$

Podemos simplificarla, teniendo en cuenta que $\omega = \frac{2\pi k}{N}$. Reemplazando en la ecuación anterior y considerando que $x[n]$ es una función periódica con período N obtenemos:

$$X(k) = \sum_{n=0}^{N-1} x[n] \cdot W_N^{n \cdot k} \quad (5)$$

Aquí, si nosotros empezáramos a desarrollar tradicionalmente tendríamos que, por cada punto de n e N , hacer N multiplicaciones y sumarmos, o sea un total de $N \cdot N$ multiplicaciones y $N(N-1)$ adiciones.

Para el desarrollo del algoritmo, se tiene en cuenta que el período N puede presentarse en las siguientes formas:

$$\bullet N = 2^\gamma \quad (6)$$

N , se puede expresar como potencia de 2. $\gamma \geq 1 \in \mathbb{N}$.

$$\bullet N = r_1 \cdot r_2 \cdot r_3 \cdots r_n \quad (7)$$

N , se puede expresar como producto de r_n , donde los r_n , son factores de N .

$$\bullet N = c \quad (8)$$

N , es un número primo c .

c) Caso $N = 2^\gamma$: Para este proceso representaremos a k y a n , como funciones de γ variables binarias que adoptan valores de 0 y 1.

$$k=0,1,2,3 \dots \Rightarrow k = \{k_{\gamma-1}, k_{\gamma-2}, \dots, k_1, k_0\} = 00 \dots 00, 00 \dots 01, 00 \dots 10, 00 \dots 11, \dots$$

$$n=0,1,2,3 \dots \Rightarrow n = \{n_{\gamma-1}, n_{\gamma-2}, \dots, n_1, n_0\} = 00 \dots 00, 00 \dots 01, 00 \dots 10, 00 \dots 11, \dots \quad (9)$$

Ósea:

$$k = 2^{\gamma-1} k_{\gamma-1} + 2^{\gamma-2} k_{\gamma-2} + \dots + k_0$$

$$n = 2^{\gamma-1} n_{\gamma-1} + 2^{\gamma-2} n_{\gamma-2} + \dots + n_0 \quad (10)$$

Visto esto, reemplazando en la ecuación de la D.F.T. obtenemos:

$$X(k_{\gamma-1}, k_{\gamma-2}, \dots, k_0) = \sum_{n_0=0}^1 \sum_{n_1=0}^1 \cdots \sum_{n_{\gamma-1}=0}^1 x[n_{\gamma-1}, n_{\gamma-2}, \dots, n_0] \cdot W^p \quad (11)$$

Donde p es:

$$p = (2^{\gamma-1} k_{\gamma-1} + 2^{\gamma-2} k_{\gamma-2} + \dots + k_0) (2^{\gamma-1} n_{\gamma-1} + 2^{\gamma-2} n_{\gamma-2} + \dots + n_0) \quad (12)$$

A continuación, operaremos con W^P , optimizándolo para un mejor análisis.

$$W^P = W^{n \cdot k} = W^{(2^{\gamma-1} k_{\gamma-1} + 2^{\gamma-2} k_{\gamma-2} + \dots + k_0)(2^{\gamma-1} n_{\gamma-1} + 2^{\gamma-2} n_{\gamma-2} + \dots + n_0)} = \quad (13)$$

Por lo que distribuiremos multiplicando la potencia, para luego enfocaremos en el primer término de la productoria, que conforma a W^P .

$$W^{(2^{\gamma-1} k_{\gamma-1} + 2^{\gamma-2} k_{\gamma-2} + \dots + k_0)(2^{\gamma-1} n_{\gamma-1})} \quad (14)$$

obteniendo

$$= W^{2^{\gamma-1} \cdot k_0 \cdot n_{\gamma-1}} \quad (15)$$

porque:

$$W^{2^{\gamma-1}} = W^N = 1 \quad (16)$$

Seguidamente, tomaremos el segundo término de la productoria que conforma W^P con lo que concluimos que:

$$W^{(2^{\gamma-1} k_{\gamma-1} + 2^{\gamma-2} k_{\gamma-2} + \dots + k_0)(2^{\gamma-2} n_{\gamma-2})} \quad (17)$$

obteniendo

$$= W^{2^{\gamma-2} k_0 \cdot n_{\gamma-2}} \quad (18)$$

El proceso de análisis de los demás términos de la productoria, continua de forma análoga con cada uno, quedando las expresiones más simplificadas.

3) *Módulo FFT*: En el apartado de diagrama Fig. 8 el modulo respectivo realiza los cálculos por medio de un programa de interacción que permite resolver el mismo tomando los datos del anterior modulo y poniéndolo disponible para el display.

A veces los datos de entrada pueden ser divididos electrónicamente para poder operar de forma eficiente y hacer cálculos simultáneos como se muestra en la siguiente imagen, donde la mitad de los datos es procesado por un sub modulo y el resto por otro. Arrojando datos parciales que luego si son combinados en una FFT Total.

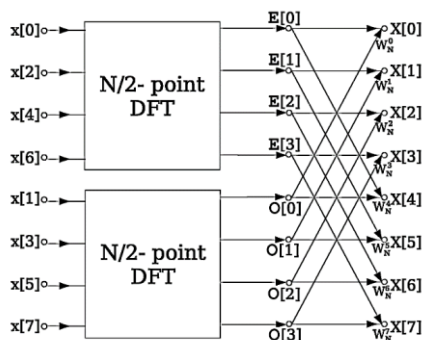


Fig. 13 Diezmado en tiempo con submodulos.

En cierta forma esto emula el concepto inicial de Cooley-Tukey. Este subdividía la señal y operaba.

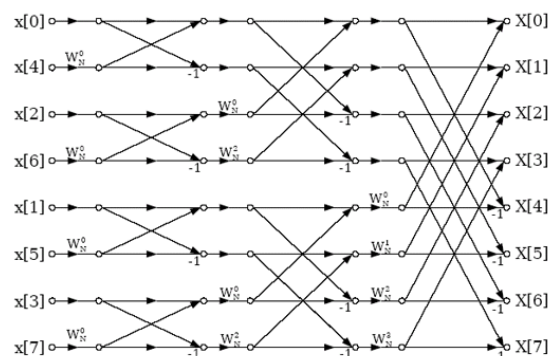


Fig. 14 Diezmado en tiempo.

Teniendo como mínimo una operación entre dos puntos denominada operación Mariposa.

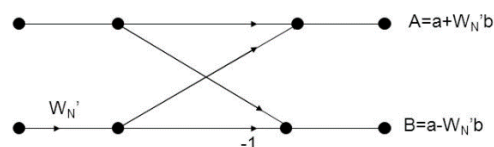


Fig. 15 Operación Mariposa.

De ahí que el algoritmo toma el nombre de método de las Mariposas dado a que la forma visual asemeja a una mariposa.

La forma de calcular se usó de forma manual y en el ámbito digital se usa para acelerar el cálculo por hardware antes del procesamiento por software. Aunque se debe considerar los efectos de lag por combinación de ambos.

4) *Aplicaciones fuera del campo matemático*: Las aplicaciones abiertas por la creciente demanda computacional a mediados de los 70, provoco variados campos de estudios que al día de hoy siguen siendo campos de investigación. A saber:

- Software de grabación digital, muestreo, síntesis aditiva y corrección de tono
- Multiplicación rápida de números enteros grandes y polinomios
- Multiplicación eficiente de matriz-vector para Toeplitz, circulante y otras matrices estructuradas
- Algoritmos de filtrado (ver métodos de superposición-añadir y superponer-guardar)
- Algoritmos rápidos para transformaciones de seno o coseno discretas (por ejemplo, DCT rápido utilizado

para codificación y decodificación JPEG y MPEG / MP3)

- Aproximación rápida de Chebyshev
- Ecuaciones en diferencias
- Cálculo de distribuciones isotópicas
- Modulación y demodulación de símbolos de datos complejos utilizando multiplexación por división de frecuencia ortogonal (OFDM) para 5G, LTE, Wi-Fi, DSL y otros sistemas de comunicación modernos

entre otros.

F. LA FFT Y FUNCIONES VENTANAS.

a) *Introducción:* La transformada rápida de Fourier (FFT) opera sobre un registro de tiempo de longitud finita en un intento de aproximarse la transformada de Fourier, que integra sobre un tiempo infinito.

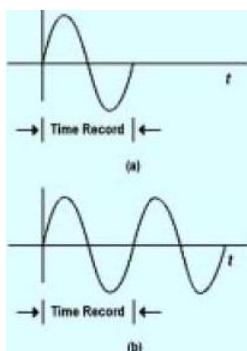


Fig. 16 Señal senoidal con el registro de tiempo.

Se puede observar en la Fig. 16 (a) la forma de onda de la señal encaja perfectamente con el registro de tiempo. Luego en Fig. 16 (b) podemos ver cuando la señal se replica nuevamente, no se introduce ningún transitorio.

La forma de onda y la fase de la señal pueden introducir cambios transitorios cuando la señal es replicada nuevamente como se muestra en la Fig. 17 (b).

Como podemos ver la forma de onda no encaja perfectamente con el registro de tiempo Fig. 17 (a).

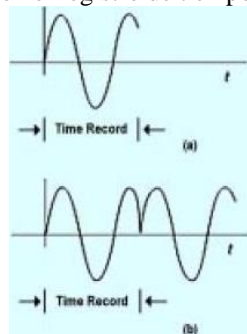


Fig. 17 Forma de onda y fase de la señal anterior replicada

Luego cuando replicamos la señal nuevamente, se introducirán transitorios que producen pérdidas o leakage en el dominio de la frecuencia.

Un modo de solucionar esta pérdida es forzar la señal a que termine en cero en los extremos del registro de tiempo, de forma cuando el registro de tiempos se replique no surjan transitorios. El forzado de la señal a cero se realiza multiplicando el registro de tiempo por una función de ventana (window o enventanado).

La forma de la ventana que elijamos para corregir esta pérdida, aplicara distintos efectos dándonos distintos resultados, cediendo o ganando ciertas características.

Es muy importante conocer como afectara la ventana a nuestro resultado final.

Otro uso de las funciones ventanas es tratar de reducir la dispersión espectral y tratar de mantener el lóbulo principal lo más estrecho posible para conseguir una buena resolución espectral.

Nosotros veremos algunas de las ventanas más conocidas.

b) Tipos de Ventana:

Ventana Hanning (Hann): Esta función es una de la más utilizada en procesamiento digital de señal. Las muestras de tiempo se ponderan mediante la función Hanning, proporcionando una transición suave a cero en los extremos del registro de tiempo, por tanto, el registro de muestras no producirá un transitorio cuando sea replicado por el algoritmo FFT.

Aunque la forma de onda en el dominio del tiempo ha cambiado, después de aplicar la función Hanning, su contenido en frecuencia permanece prácticamente inalterado.

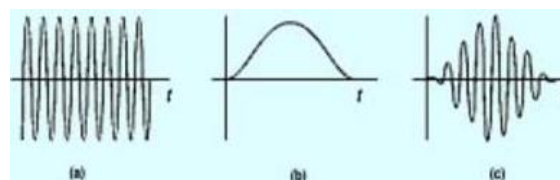


Fig. 18 (a) El registro de tiempo original. (b) La ventana Hanning. (c) El registro de tiempo después de aplicar la función de ventana Hanning.

La línea espectral asociada con la sinusoide se extiende una pequeña cantidad en el dominio de la frecuencia como muestra la Figura 19.

La ventana Hanning pone en la balanza entre la precisión en amplitud y la resolución en frecuencia y comparada con otras funciones de ventana proporciona la mejor resolución en frecuencia, teniendo como costo es la reducción de la exactitud en amplitud.

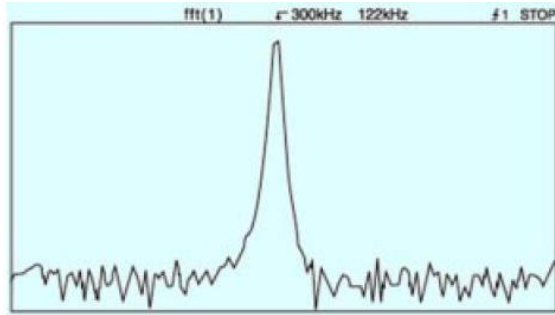


Fig. 19 La ventana Hanning produce líneas espectrales relativamente estrechas.

Ventana Flattop: Esta ventana tiene una banda de paso más plana y reduce las diferencias en amplitud entre las muestras minimizando el error en amplitud.

La ventana Flattop se considera muy precisa en amplitud, teniendo un error máximo de amplitud de 0.1 dB (1%).

Como contrapartida, la resolución en frecuencia es menor que en el caso de la función Hanning como podemos ver en la Fig. 20.

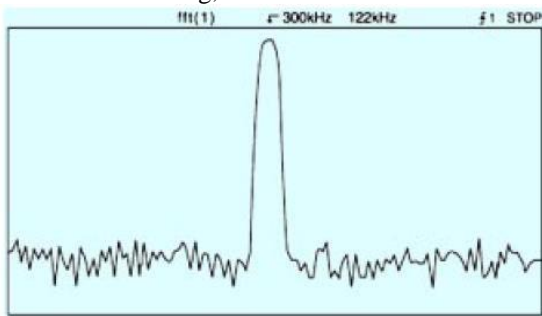


Fig. 20 La ventana Flattop genera líneas espectrales más anchas.

Ventana Uniform: La ventana Uniform no se considera realmente una ventana ya que no altera las muestras. Se usa en aquellas formas de onda que tienen el mismo valor en los dos extremos.

Ventana Exponencial: Una de las ventajas del analizador FFT es que se puede usar para medir el contenido en frecuencia de señales transitorias rápidas.

En este tipo de ventana, la porción del principio de la señal no se altera, mientras que se fuerza a cero al final del registro de tiempo.

Esto resulta muy conveniente en el análisis de señales transitorias.

c) Selección de una función ventana.

La mayor parte de las medidas requerirán el uso de funciones Hanning o Flattop. Estas dos funciones de ventana son las más usuales en medidas de análisis de espectros.

Elegir entre estas dos ventanas supone un compromiso entre resolución en frecuencia y exactitud en amplitud como explicamos anteriormente.

La ventana Hanning se utiliza cuando necesitamos la mejor resolución en frecuencia.

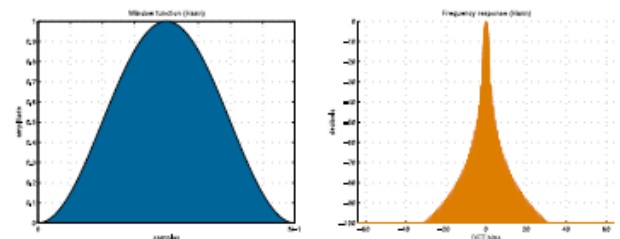
La ventana Flattop da mejores resultados en la resolución de amplitud.

La ventana Uniform se usa cuando se puede garantizar que no habrá efectos de fuga o pérdidas.

La ventana Exponencial se usa cuando la señal a medir es un transitorio.

Estas dos últimas ventanas se deben considerar solo en situaciones especiales.

d) Comparación de ventanas.



$$v(n) = a_0 - a_1 \cdot \cos\left(\frac{2\pi n}{N-1}\right)$$

$$a_0 = 0,5; a_1 = 0,5$$

Fig. 21 Ventana Hann

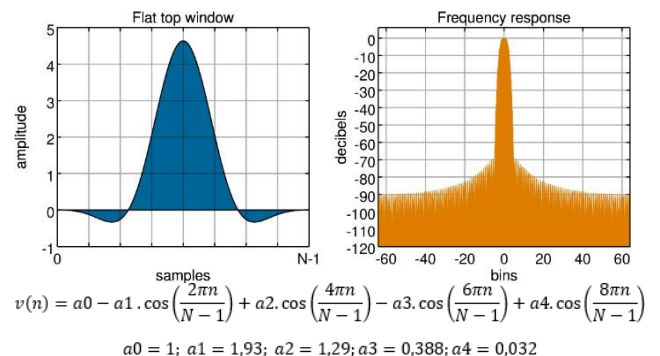
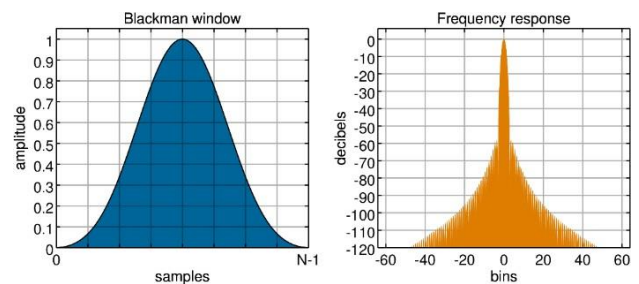


Fig. 22 Ventana Flat top



$$v(n) = a_0 - a_1 \cdot \cos\left(\frac{2\pi n}{N-1}\right) + a_2 \cdot \cos\left(\frac{4\pi n}{N-1}\right)$$

$$a_0 = 0,42; a_1 = 0,5; a_2 = 0,08$$

Fig. 23 Ventana Blackman

e) Ejemplos de aplicación de ventanas

Se enlistan las aplicaciones y ventana típica para ello.

Contenido de la señal	Ventana
Onda sinusoidal o combinación de ondas sinusoidales.	Hann
Onda sinusal (la precisión de amplitud es importante).	Flat Top
Señal aleatoria de banda estrecha (Narrowband) (datos de la vibración).	Hann
Banda ancha aleatoria (Ruido blanco).	Uniform
Ondas sinusoidales muy espaciadas.	Uniform
Señal de repuesta (golpe de martillo).	Exponencial
Dos tonos con frecuencias cercanas y amplitudes casi iguales.	Uniform
Mediciones precisas de amplitud de un solo tono.	Flat Top

Fig. 24 Aplicaciones

3. IMPLEMENTACIÓN DEL PROTOTIPO

Para la presente implementación se seleccionó la placa Arduino Due.

A. Características de la Placa Arduino Due

a) Características Principales



Fig. 25 – Arduino Due.

- El microcontrolador que integra a esta placa es el Atmel SAM3X8E ARM Cortex-M3 de 32 [bits].
Esto hace que tengamos potencia de cálculos (realiza cálculos de forma más rápida) comparados con los AVR de 8 [bit]; que es el que poseen la mayoría de las placas similares.
- Posee una velocidad de reloj, o de respuesta, mucho más elevada que los otros Arduino (84 [Mhz]).
- Posee 2 DAC o pines de salidas analógicas con una resolución de 12 bits (4096 niveles) a una alta frecuencia de muestreo.
- Posee 2 puertos miniUSB de los cuales uno se utiliza para programar y el otro es un puerto nativo que se utiliza para conectar un mouse, teclado, etc.

b) Otras características

- Este dispositivo funciona a 3.3 [V], en vez de los 5[V] de las otras placas. Esto lo hace compatible directamente con muchos dispositivos de Arduino que funcionan a ese voltaje.
- Voltaje recomendado de entrada (pin Vin): 7-12[V].
- 4 pines para comunicación serie (Rx y Tx)
- Pines E/S digitales: 54, de los cuales 12 son PWM.
- 4 UART (puertas seriales por hardware)
- 11 pines E/S analógicos.
- Posee un botón para borrar la programación del microcontrolador.

c) Ventajas y Desventajas Arduino Due.

Ventajas:

- Procesador muy potente (ARM Cortex-M3 de 32 [bits]).
- Su velocidad de reloj de 84 [Mhz].

Desventajas:

- Entradas digitales a 3.3[V] (no se podría usar los que piden 5[V]).
- No posee memoria EEPROM (no se puede guardar resultados en variables y apagar la placa, conservando los datos).

B. Consideraciones previas a la programación

a) Descomposición en Tiempo

La descomposición en tiempo es un artificio para ordenar los datos presentes en el vector de entrada; de forma en que el dato en una terminada posición de la muestra pueda ser convocado de forma más eficiente a la hora de efectivizar los cálculos del espectro.

A efectos de cálculo tradicional (la forma gráfica desarrollada por Cooley-Tukey) figura 26, se observa que se necesita los datos de entrada en un ordenamiento especial. Para conseguirlo, se van reordenando los datos de entrada aplicando el criterio de posición par e impar de la muestra; hasta llegar al punto en que ninguna parte de la muestra se puede separar en dos partes más.

El estado final sería un reordenamiento de los datos originales en una forma; donde los datos parecerían estar mezclados al azar, si no fuese porque aplicamos el criterio de posición par e impar.

Partiendo de un ejemplo de 16 posiciones, el resultado lo observamos en la siguiente figura:

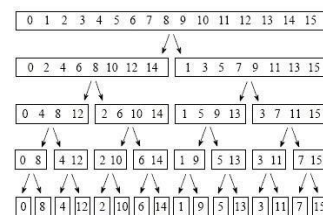


Fig. 26 Desdoblamiento del vector datos.

Si, en consecuencia, representamos las posiciones por sus valores homólogos en binario; se obtiene esta comparación:

0	0000	0000	0
1	0001	1000	8
2	0010	0100	4
3	0011	1100	12
4	0100	0010	2
5	0101	1010	10
6	0110	0110	6
7	0111	1110	14
8	1000	0001	1
9	1001	1001	9
10	1010	0101	5
11	1011	1101	13
12	1100	0011	3
13	1101	1011	11
14	1110	0111	7
15	1111	1111	15

Fig. 27 Simetría Binaria del resultado del reordenamiento para dieciséis (16) datos.

Por inspección visual de la figura anterior, encontramos que el reordenamiento aplicado posee una relación a nivel binario, entre el vector de entrada que contiene los datos de la señal con el vector final necesario para agilizar el cálculo del espectro.

Este ordenamiento produce una relación entre posiciones, donde una posición está relacionada por reflexión de su marcador binario.

Tomemos el ejemplo de la posición doce (12), que en binario se expresa como 1100. Al reflejar este número binario se obtiene 0011, lo que da como resultado la posición tres (3). Por lo tanto, se manda el dato contenido en la posición 3 a la posición 12 del nuevo vector arreglado.

Esto se observa en todas las posiciones, aunque hay algunas que no varían dada su simetría y se le llaman puntos fijos de la muestra. Las mismas son la destacadas en color amarillo en las imágenes.

El mismo trabajo podemos aplicar a un vector de ocho datos obteniendo:

0	000	000	0
1	001	100	4
2	010	010	2
3	011	110	6
4	100	001	1
5	101	101	5
6	110	011	3
7	111	111	7

Fig.28 Simetría Binaria del resultado del reordenamiento para ocho (8) datos.

Comparando la figura 27 con la figura 28, tenemos que el resultado es el mismo que dividir en dos la muestra y reordenado por separado como si fuesen ambos vectores de 8 datos y luego alternando uno con otro.

Por lo que gráficamente podemos reordenar los datos de esta forma.

Sin embargo, para la aplicación computacional, nos conviene mantener el aspecto binario y controlar los bits reflejados de las posiciones.

b) *Síntesis del Dominio Frecuencia:* Una vez obtenido el vector necesario, el esquema de aplicación de cálculo era el siguiente:

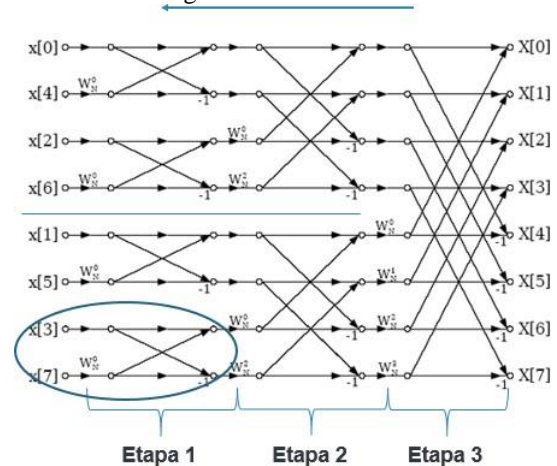


Fig. 29 Algoritmo grafico de Cooley-Tukey para ocho (8) datos.

De la imagen se desprende que, el cálculo mínimo es entre dos puntos a los que se le aplica la operación mariposa como pre cálculo.

La etapa uno (1) termina al completar las dos operaciones mariposa por cada sub DFT. Por lo tanto, se necesita un Loop para controlar el cálculo mariposa como también otro Loop para controlar las sub DFT de la etapa dos (2).

Un tercer Loop es necesario para que controle el cálculo general ya se considera el caso donde $N=2^m$. Por lo tanto, en esta sección podemos ver que se respeta el siguiente diagrama de flujo:

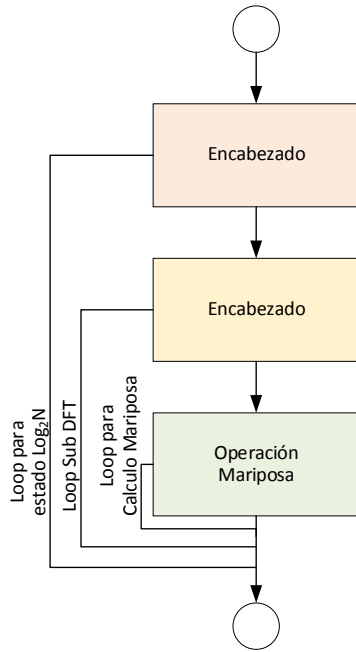


Fig. 30 Diagrama de flujo para la síntesis del dominio frecuencia.

c) *Diagrama de Flujo Para el cálculo de FFT:* Recapitulado, el diagrama total considerando el reordenamiento de datos necesario resulta el ejemplificado en la figura siguiente:

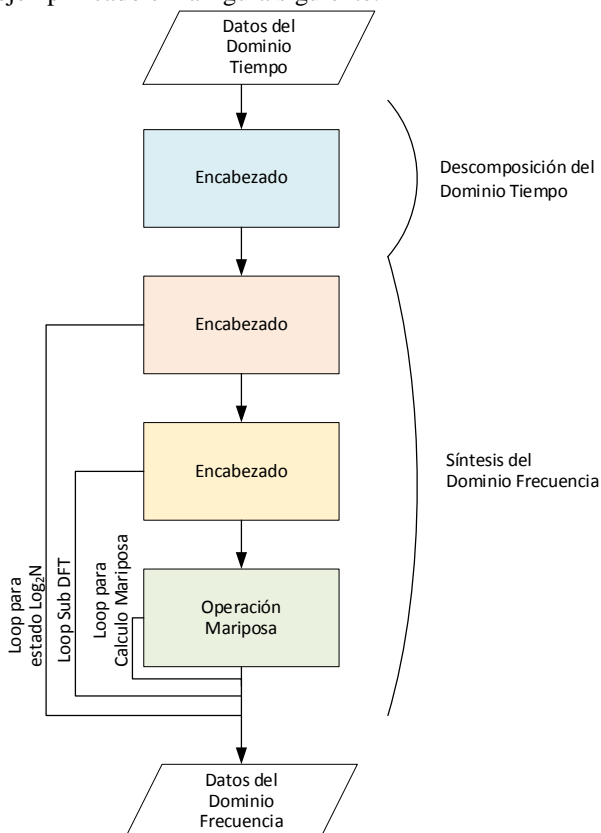


Fig. 31 Diagrama de flujo para el cálculo de la FFT.

En este aspecto, los bloques encabezados representan operaciones básicas entre componentes sin toma de decisiones o interacciones. Las únicas interacciones están marcadas entre los bloques pertinentes.

d) *Implementación de la FFT en C++:* En cuanto a las implementaciones del algoritmo en C++, forma parte de un objeto estandarizado hace años.

En la sección apéndice A.0, se encuentra el código del objeto donde se marcó las secciones mencionadas previamente. En la sección apéndice A.2 y A.3 la versión para Arduino Due

e) *Programación General:* En lo que respecta al código implementado; el mismo fue diseñado para ser utilizado en un Arduino Due.

Con respecto al código, su implementación y funcionamiento, fue más sencillo que el esperado; y su funcionamiento fue óptimo. Se tiene que agregar algunas cosas que faltan para que funcione completamente, como tener en cuenta la variación de los potenciómetros utilizados como atenuadores y modificar la potencia en base a esto.

En la sección apéndice A.1, se encuentra el código detallado completamente, con las funciones que cumplen cada parte del código, cabeceras y cuerpo respectivamente.

Las interrupciones se encuentran en la sección A.4.

C. Esquemático y PCB

El proyecto lo hemos basado la realización de un shield de Arduino Due; por esta razón nos hemos limitado a realizar un circuito que entre en el tamaño de este.

Respecto a la funcionalidad, toda la parte de cálculo es realizada por el procesador. Por ende, la parte circuito cumple únicamente la función de adaptar la señal de entrada a los niveles de tensión y frecuencia correspondientes para su posterior análisis.

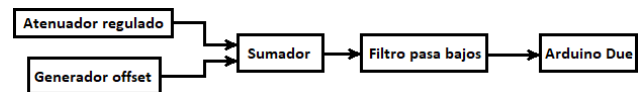


Fig. 32 Esquema del circuito de adaptación de señal de entrada para Arduino Due.

Observando el esquema del circuito que se presenta en la Fig. 32, podemos identificar los siguientes bloques:

a) *Atenuador regulado:* Esta etapa se resume básicamente en un control de volumen de la entrada. Esto nos permite que, si la señal de entrada tiene una amplitud mayor a la permitida por el Arduino Due, la atenuemos hasta obtener una señal medible.

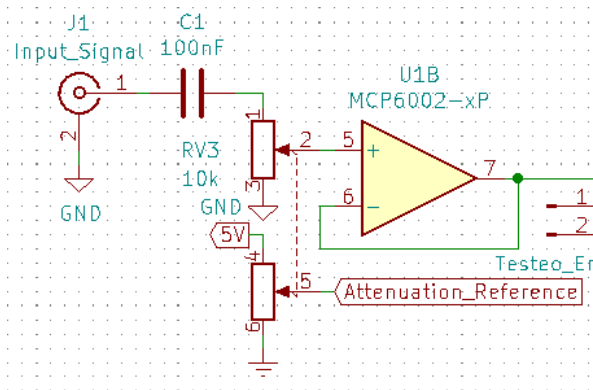


Fig. 33 Esquemático de un Atenuador Regulado.

Como vemos en la Fig. 33, tenemos la entrada con una ficha que nos permite utilizar cable mallado, lo cual nos da la ventaja de suprimir parte del ruido que pueda ingresar por este. Luego filtramos la componente continua de la misma, y seguidamente nos encontramos con el control de volumen.

Se logra apreciar que este control de volumen, utiliza un potenciómetro doble. Esto se decidió de esta forma ya que el segundo potenciómetro nos permite controlar una tensión que variará de 5[V] a 0[V] de manera proporcional a la atenuación o al volumen de la señal de entrada, por lo tanto, el procesador sabrá que tanto se ha atenuado la señal utilizando la señal **Attenuation_Reference**.

Por último, disponemos de un seguidor de tensión para evitar cualquier problema con las corrientes.

b) *Generador de Offset:* El resultado de la etapa anterior es una señal alterna con su amplitud reducida de ser necesario, ahora bien, lo que necesitamos es que dicha señal alterna se encuentre en el rango de 0 a 5[V], para ello debemos.

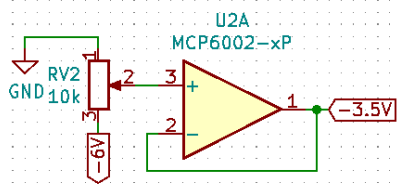


Fig. 34 Esquemático de un generador de offset.

Por lo tanto, esta etapa es un control de volumen que nos brinda una tensión negativa regulable; de forma que logremos restarle la tensión seleccionada. Ahora bien, el circuito se alimenta con 12[V] y 0[V]; por ende, para obtener la tensión negativa lo que se hace es trabajar con una masa virtual. La misma es equivalente a 6[V], por lo cual los 12[V] pasan a ser +6[V] y la masa de la alimentación pasa a ser -6[V]. Esto se decidió para mejorar el funcionamiento de los operacionales.

Sin embargo, el juego de masas nos trajo un nuevo problema: el Arduino está trabajando entonces entre la

masa real y la masa virtual, razón por la que necesitamos que la señal se encuentre en dicho rango.

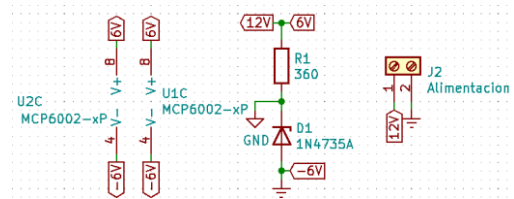


Fig. 35 Adaptación de rango de tensión de las señales

c) *Sumador:* En esta etapa se realiza: la suma de la señal de offset generada previamente; la cual, al ser negativa resulta en una resta en vez de una suma. De esta manera, podemos regular sobre qué tensión se encuentra nuestra señal.

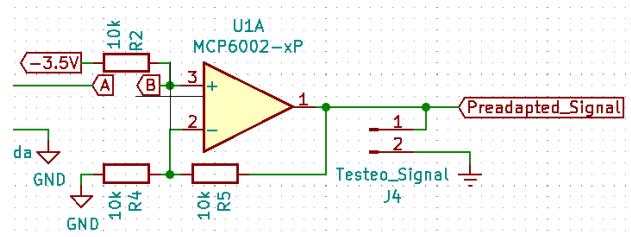


Fig. 36 Esquemático de un Sumador.

Se logra apreciar que falta una resistencia en la imagen anterior (la cual se encontraría conectada entre A y B). Para esto, se ha utilizado un potenciómetro doble de la misma forma que en la etapa inicial; y esto es debido a que la señal puede ser muy pequeña. Por ende, no atenuaremos su señal, sino que nos interesara amplificarla. Para esto sirve este potenciómetro. A su vez, también tenemos una referencia para saber que tanto estamos amplificando la señal.

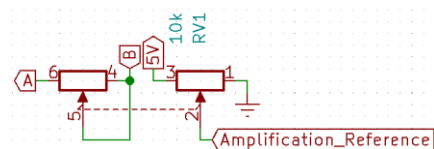


Fig. 37 Esquemático de indicador de porcentaje de amplificación.

Al igual que se ha explicado antes, la señal **Amplification_Reference** sirve para que el procesador sepa cuanto se ha amplificado la señal. Utilizando tanto esta señal como la **Attenuation_Reference** se puede calcular la potencia real de la señal analizada.

d) *Filtro Pasa Bajos:* La última etapa antes del Arduino, consiste en un filtro pasa bajo anti-aliasing, el cual nos limitara las componentes frecuenciales de la señal, tanto para reducir la potencia del ruido como para evitar el aliasing producido por el efecto de la digitalización.

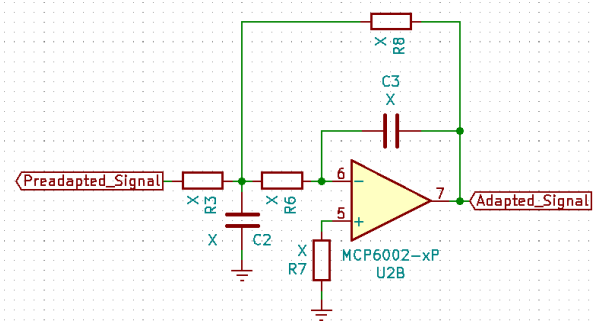


Fig. 38 Esquemático de filtro Pasa Bajos.

Como se logra apreciar, no se ha calculado aún los valores del filtro y esto se debe a que no se ha determinado exactamente cuál será la frecuencia de muestreo del Arduino, pero consta básicamente de un filtro pasa bajos activo de segundo orden, el cual tendrá como frecuencia de corte la mitad de la frecuencia de muestreo.

e) *Tentativa disposición de pines:*

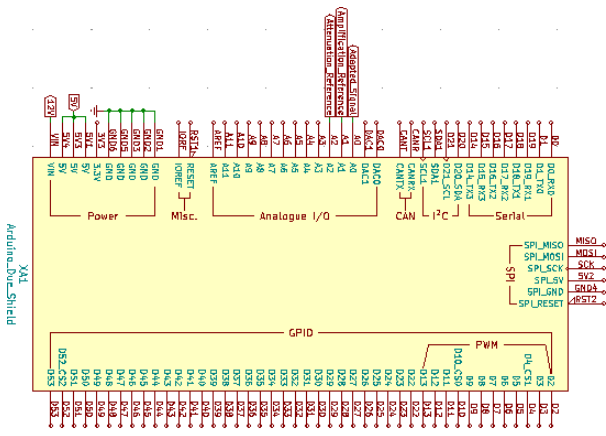


Fig. 39 Esquemático de Arduino Due.

Aquí vemos la posible distribución de pines a utilizar dentro del shield de Arduino Due.

f) *PCB:* El esquemático del circuito fue diseñado en KiCad; para luego plasmarse en Proteus la creación del PCB en cuestión. Esto ocurrió debido a algunos problemas que nos surgieron al momento de obtener una visión 3D del circuito, que necesitábamos para el diseño de la carcasa desarrollado en el siguiente apartado.

En el apéndice A.5 y A.6 se puede observar ambos esquemáticos completos; tanto en Proteus como en KiCad.

A continuación, se pueden observar el PCB y su versión 3D que obtuvimos a través de Proteus:

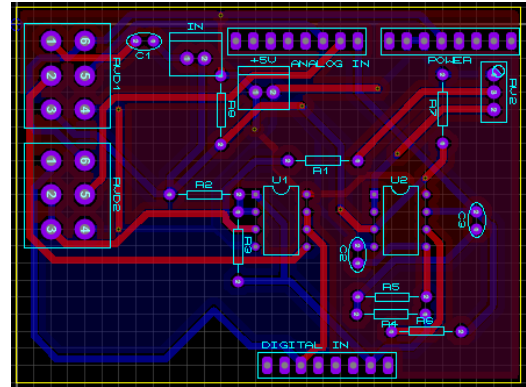


Fig. 40 PCB del Analizador de Espectro (AE)

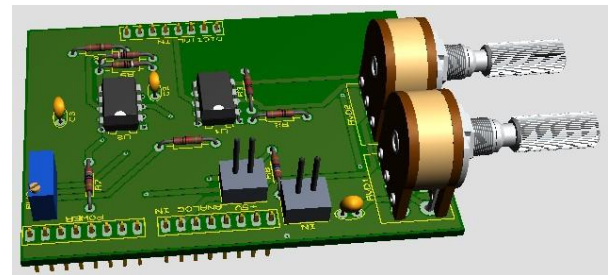


Fig. 41 Diseño 3D del circuito principal del AE.

D. *Diseño de la carcasa*

El diseño de la carcasa del Analizador de Espectros se realizó mediante un programa de uso gratuito FreeCAD.

El programa es utilizado ampliamente para la creación de objetos destinados a ser impresos con una Impresora 3D.

A continuación, se presenta la simulación de la carcasa completa de nuestro instrumento:



Fig. 42 Carcasa completa del AE - Vista posterior.

a) *Carcasa Superior:* Esta parte del instrumento, posee varios detalles entre ellos dos agujeros en la parte izquierda, que corresponden a los pines de entrada y salida de la señal a analizar en el Analizador de Espectro. Un orificio superior utilizado para variar el preset que se encuentra en el circuito 3D presentado. Por último, los dos círculos frontales en donde se ubicarían los potenciómetros.

Todos estos detalles se pueden observar en las figuras presentadas a continuación:

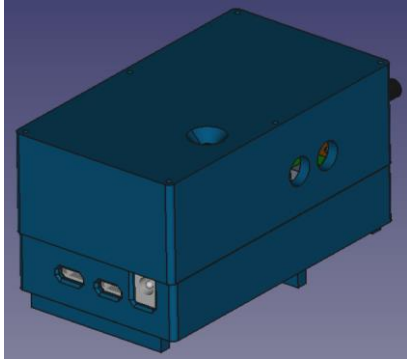


Fig. 43 Carcasa completa del AE - Vista posterior

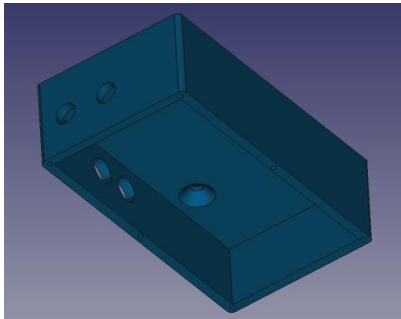


Fig. 44 Carcasa superior - Vista frontal.

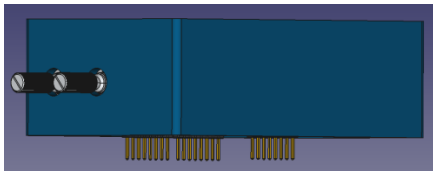


Fig. 45 Carcasa superior - Vista lateral.

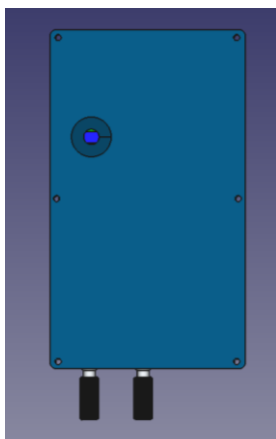


Fig. 46 Carcasa superior - Vista superior.

Además, también tiene orificios en los bordes de 1[mm] de radio que se ven claramente en la Fig. 46, utilizados para ajustar la presión de la carcasa.

b) *Carcasa Inferior*: La parte inferior de la carcasa es la principal del instrumento, ya que mediante un soporte fija a nuestro Arduino Due. Este posee ranuras horizontales destinadas a la ventilación del instrumento.

En las siguientes figuras, se puede observar cómo se fijaría el microcontrolador a esta base y el diseño completo de la misma.

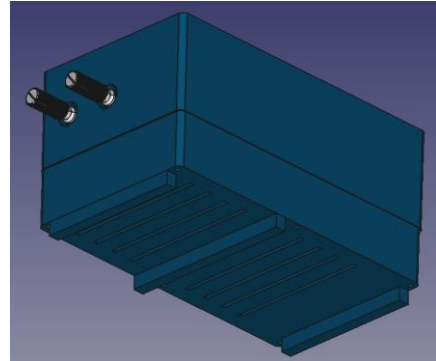


Fig. 47 Carcasa completa del AE - Vista Inferior

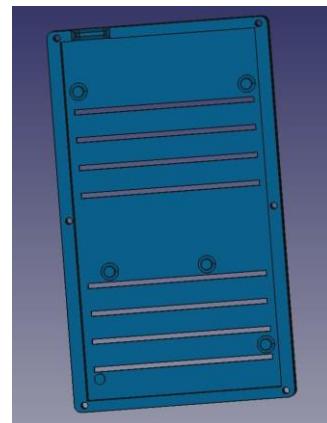


Fig. 48 Carcasa Inferior - Vista superior.

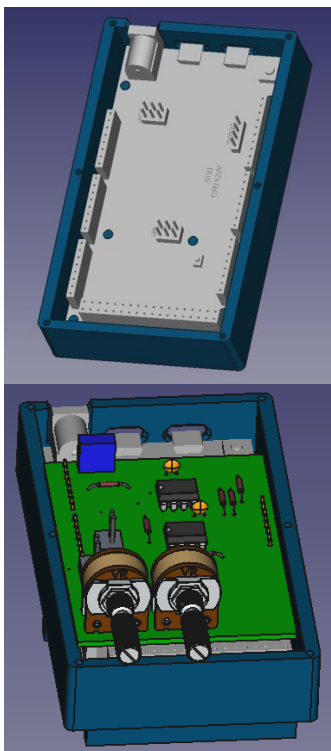


Fig. 49 Carcasa Inferior con un Arduino Due - Vista superior.

También posee orificios en la parte posterior del mismo, donde se ubicarían los microUSB y alimentación del Arduino Due.

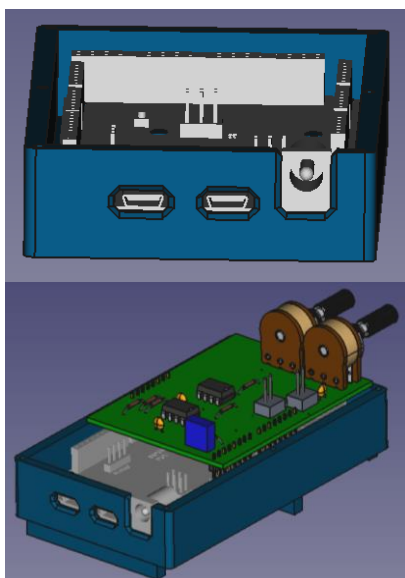


Fig. 50 Carcasa Inferior con Arduino due -Vista posterior.

E. Ensayo del circuito

Luego de las simulaciones y comprobar el correcto funcionamiento del instrumento, pasamos al armado del circuito en una protoboard.

A continuación, presentamos algunas imágenes tomadas durante la prueba del circuito del Analizador de Espectros. Entre estas se encuentran la fuente que alimenta el circuito y generador de señales utilizado para ingresar una señal.

También se observa un osciloscopio que se utilizó para verificar la correcta señal de entrada.

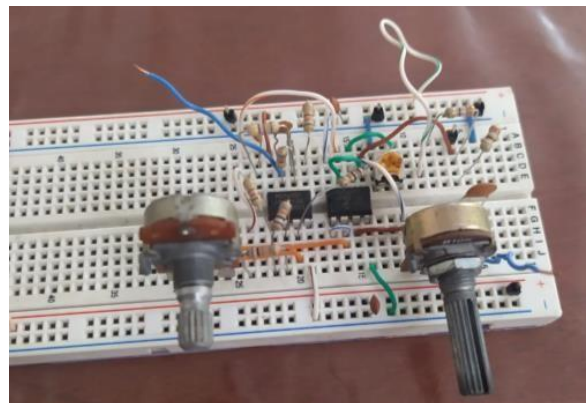


Fig. 51 Desdoblamiento del vector datos.

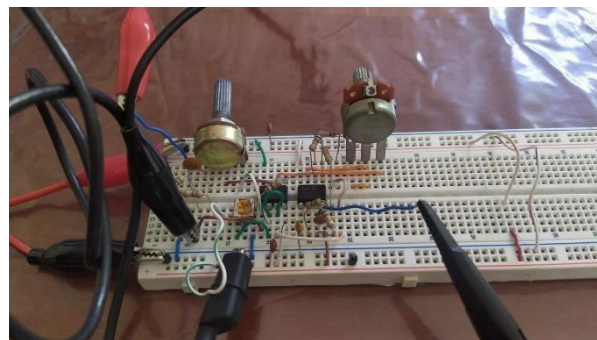


Fig. 52 Desdoblamiento del vector datos

a) *Instrumentos utilizados:* Para el ensayo se consiguieron los siguientes elementos de laboratorio.

- Osciloscopio: Tektronix TDS2014B
- Generador de Funciones: OWON AG1022
- Fuente de Alimentación: ATEN TPR3003T-3C



Fig. 53 Generador de funciones. Fuente de alimentación. Osciloscopio.

b) *Señal Senoidal de entrada:* En esta prueba se ingresa a nuestro circuito una señal senoidal de 19[KHz].



Fig. 54 Señal de entrada Senoidal de 19 [kHz]

Resultados:

```
10:53:06.214 -> 0.000000Hz 753.6386
10:53:06.214 -> 3125.000000Hz 345.6363
10:53:06.214 -> 6250.000000Hz 4.4832
10:53:06.214 -> 9375.000000Hz 7.7686
10:53:06.214 -> 12500.000000Hz 12.4270
10:53:06.214 -> 15625.000000Hz 1499.0552
10:53:06.214 -> 18750.000000Hz 3886.4622
10:53:06.214 -> 21875.000000Hz 1984.6310
10:53:06.214 -> 25000.000000Hz 74.4571
10:53:06.214 -> 28125.000000Hz 7.1692
10:53:06.214 -> 31250.000000Hz 10.0088
10:53:06.214 -> 34375.000000Hz 2.0985
10:53:06.214 -> 37500.000000Hz 10.4355
10:53:06.214 -> 40625.000000Hz 4.3815
10:53:06.214 -> 43750.000000Hz 17.7846
10:53:06.214 -> 46875.000000Hz 6.4387
10:53:06.254 ->
```

Fig. 55 Prueba con señal senoidal.

c) *Señal Cuadrada de entrada:* En esta prueba se ingresa a nuestro circuito una señal cuadrada de 19 [KHz].



Fig. 56 Señal de entrada cuadrada de 19 [kHz]

Resultados:

```
10:51:49.676 -> 0.000000Hz 785.4028
10:51:49.676 -> 3125.000000Hz 618.9616
10:51:49.676 -> 6250.000000Hz 1002.4152
10:51:49.676 -> 9375.000000Hz 577.0889
10:51:49.676 -> 12500.000000Hz 272.0759
10:51:49.676 -> 15625.000000Hz 2102.5047
10:51:49.676 -> 18750.000000Hz 4979.2779
10:51:49.676 -> 21875.000000Hz 2414.7472
10:51:49.676 -> 25000.000000Hz 158.7166
10:51:49.676 -> 28125.000000Hz 572.8392
10:51:49.676 -> 31250.000000Hz 778.8649
10:51:49.676 -> 34375.000000Hz 620.4381
10:51:49.676 -> 37500.000000Hz 193.4371
10:51:49.676 -> 40625.000000Hz 1002.9170
10:51:49.676 -> 43750.000000Hz 1662.9111
10:51:49.676 -> 46875.000000Hz 751.4846
10:51:49.676 ->
```

Fig. 57 Prueba con señal cuadrada

Resultados Generales de los ensayos:

Se comprobó el correcto funcionamiento del circuito.

Surgieron problemas con respecto al control del offset mediante el preset. Esto se soluciona colocando un seguidor de tensión a la tensión del offset para que esta no se modifique con el resto de los componentes del circuito.

4. IMPLEMENTACIÓN DEL MODELO DE PRUEBA

A. Programación General

La programación para esta instancia es básicamente sin cambios; pudiéndose observar las diferencias entre los apéndices A y B en los apartados respectivos, los que se encuentran debidamente comentados.

Se omitieron directamente los bloques sin cambios entre una sección y otra; por lo que las que quedaron solo en la sección A, y no figuran en la B, son estados finales para este proyecto. En la sección C del apéndice se pueden observar los diagramas de flujo que gobiernan tanto al Arduino como al MatLAB; el cual en esta instancia gráfica lo aportado por el Arduino a través de la comunicación serie.

B. Esquemático y PCB

Sin cambios desde el prototipo.

C. Diseño de la carcasa

Sin cambios desde el prototipo.

D. Ensayo del circuito

No se pudo ejercer el respectivo ensayo debido a falla del operacional y su imposibilidad para la fecha de entrega de restituirlo, dado que era importado.

MEDIDAS ELECTRONICAS II

C. Cappelletti, M. F. Krenz

5. CONCLUSIONES

Se logró crear un dispositivo que mida las componentes espectrales; el cual fue de implementación relativamente fácil, pudiendo ser un DIY (Do It Yourself , Hágalo usted mismo).

También, se logró aumentar el potencial de una placa Arduino Due, mediante el uso de una placa de extensión (Un shield); la cual, es una buena alternativa frente a costosos equipos, en general.

Dentro de las posibles mejoras podemos citar:

- La creación de una interfaz gráfica que amplíe el potencial del dispositivo.
- La posibilidad de cambiar el tipo de ventana que se utiliza.
- La posibilidad de centrar el espectro en la posición deseada.
- La posibilidad de convertir la amplitud a escala en [db]
- Y la de mostrar información adicional mediante cálculos automáticos.

RECONOCIMIENTOS

Los autores, agradecen los consejos, ideas y contribuciones de:

- Esp. Ing. Facundo Cuestas
- Bioing. José Miguel Pentácolo
- Dr. Fabio Miguel Vincitorio

para la realización de este trabajo. En nombre del equipo expresamos nuestro profundo agradecimiento.

REFERENCIAS

Consideraciones Generales

- [1] https://es.wikipedia.org/wiki/Analizador_de_espectro
- [2] <https://ingenieriaelectronica.org/analizador-de-espectros-definicion-tipos-y-caracteristicas/>
- [3] <http://files.owon.com.cn/specifications/OWON%20XSA1000%20Series%20Spectrum%20Analyzer%20technical%20spec.s.pdf>

Marco Teórico:

Atenuador:

- [4] <http://tutorialesdeelectronica basica.blogspot.com/2019/03/atenuador-bridged-t-tutorial-de.html>
- [5] <http://xq2dwo.blogspot.com/2016/04/atenuador-de-rf.html/>

Filtros:

- [6] https://www.electronics-tutorials.ws/filter/filter_5.html

Muestreo y Digitalización:

- [7] MILONE, Diego H. y Otros.; "Introducción a las señales y sistemas discretos" Version Digital, Argentina; 2009; Editorial UNER

Transformada Rapida de Fourier:

- [8] BANKS, Stephen P.; "Signal Processing, Image Processing and Pattern Recognition"; Great Britain; 1990; Editorial Universidad de Cambridge.
- [9] BRIGHAM, Oran E.; "The Fast Fourier Transform and its Application"; U.S.A.; 1988; Editorial Prentice Hall S.A..
- [10] BURRNS, Sydney C. y otros; "Ejercicios de Tratamiento de la Señal Utilizando MatLab V.4., Un Enfoque Práctico"; España; 1998; Editorial Prentice Hall S.A..
- [11] JACKSON, Leland B.; "Signal, Systems and Transforms"; U.S.A.; 1988; Editorial Addison Wesley S.A..
- [12] PAPOULIS, Athanasios; "Sistemas Digitales y Analógicos, Transformadas de Fourier, Estimación Espectral"; España; 1978; Editorial Marcombo Boixareu Editores
- [13] RAMIREZ CORTES Juan Manuel y Otros (marzo-abril 1998). "El algoritmo de la transformada rápida de Fourier y su controvertido origen". Revista Ciencia y desarrollo, N°139, Volumen XXIV, 70-77

- [14] Chapter 12: The Fast Fourier Transform.
<https://www.dspguide.com/ch12/>

- [15] Digilent - Lab 7b: Digital Spectrum Analyzer.
<https://reference.digilentinc.com/learn/courses/unit-7-lab7b/start>

Ventanas:

- [16] [https://es.wikipedia.org/wiki/Ventana_\(funci%C3%B3n\)](https://es.wikipedia.org/wiki/Ventana_(funci%C3%B3n))

Implementación del Prototipo

- [17] https://www.hwlibre.com/arduinode/#Que_es_Arduino_Due
- [18] <http://manueldelgadocrespo.blogspot.com/p/arduino-due.html>
- [19] Librería FFT:
<https://www.arduinolibraries.info/libraries/arduino-fft>
- [20] Librerías TIMER:
https://platformio.org/lib/show/11467/SAMDUE_TimerInterrupt/installation
- [21] Diseño de la carcasa mediante FreeCAD:
<http://diwo.bq.com/course/curso-de-introduccion-a-freecad/>

APÉNDICES

ANALIZADOR DE ESPECTRO

Programación. Esquemático

Facultad Regional Paraná, Universidad Tecnológica Nacional, Argentina.

```

1  /*
2      FUNCION EN C++ DE LA FFT
3      Catedra: MEDIDAS ELECTRONICAS II
4      Docentes: C. Cappelletti, M. F. Krenz
5      Grupo N°: 3
6      Alumnos: A. A. Baldini, N. H. Gimenez, T. A. Pentacolo, L. D.
7      Rispoli.
8
9  */
10
11 //FFT
12
13 void FFT(int16_t* bufferRe, int16_t* bufferIm)
14 {
15     /*
16     En este ejemplo estandarizado, el programa, mediante loops,
17     Calcula la FFT.
18     */
19
20     // Declaraciones: Variables de control de loop y tamaño de vectores
21     int16_t bl;          // Tamaño actual de la mariposa.
22     int16_t p;          // Tamaño actual de la mariposa dividido por dos.
23     int16_t k;          // Nivel actual.
24     int16_t m;          // Contador de coeficiente.
25     int16_t i;          // Coeficientes de control para el primer punto.
26     int16_t j;          // Coeficientes de control para el segundo punto.
27     int16_t wRe;        // Coeficiente de giro actual (Parte Real).
28     int16_t wIm;        // Coeficiente de giro actual (Parte Imaginaria).
29     int16_t temp;
30
31     bl = FFT_SIZE;      // Tamaño actual de la mariposa.
32     p = FFT_SIZE >> 1; // Tamaño actual de la mariposa dividido por dos.
33     k = 0;              // Numero de nivel.
34
35     // loop
36     while (p > 0)
37     {
38         for (m=0; m<p; m++) // Loop sub-DFT.
39         {
40             j = m << k; // Coeficientes de control.
41
42             wRe = twiddleCoefficients[(j + FFT_SIZE / 4)];
43             wIm = -twiddleCoefficients[j];
44
45             for (i=m; i<FFT_SIZE; i += bl) // Loop calculo de mariposa.
46             {
47                 j = i + p; // i - Coeficientes de control para el
48                             primer punto.
49                             // j - Coeficientes de control para el
49                             segundo punto.
50
51                 FFT2(bufferRe+i, bufferIm+i, bufferRe+j, bufferIm+j,
52                     wRe, wIm); // Operación mariposa.
53             }
54         }
55     }
56 }

```

```

50     }
51
52     k++;
53     p >>= 1;
54     bl >>= 1;
55
56     }
57
58     // Ordena el dominio frecuencia
59     for (i=1; i<(FFT_SIZE - 1); i++)
60     {
61
62         j = bitPermutationTable[i];
63
64         if (j <= i)
65         {
66             continue;
67         }
68
69         temp = bufferRe[i];
70         bufferRe[i] = bufferRe[j];
71         bufferRe[j] = temp;
72
73         temp = bufferIm[i];
74         bufferIm[i] = bufferIm[j];
75         bufferIm[j] = temp;
76     }
77
78 }
79
80 //FFT2: Operación Mariposa
81
82 void FFT2(int16_t *ReA, int16_t *ImA, int16_t *ReB, int16_t *ImB,
83          int16_t Wr, int16_t Wi)
84 {
85     // Declaraciones
86     int w0, w1, w2, w3, w6;
87
88     /*
89      Escala para Q1.15. La notación Q, como la define Texas Instruments,
90      consiste en la letra Q seguida de un par de números m . n , donde m
91      es el número de bits utilizados para la parte entera del valor y n
92      es el número de bits fraccionarios.
93      */
94
95     w0 = *ReA >> 1;
96     w1 = *ImA >> 1;
97     w2 = *ReB >> 1;
98     w3 = *ImB >> 1;
99
100    // Camino suma
101
102    //Guarda el resultado real. w6 = w0 + w2;
103    *ReA = (int16_t) (w0 + w2);

```

```
103
104 //Guarda el resultado imaginario. w7 = w1 + w3;
105 *ImA = (int16_t) (w1 + w3);
106
107 // Camino resta _____
108
109 w0 = w0 - w2;
110 w1 = w1 - w3;
111
112 w2 = w0 * Wr;           // Multiplicar por coeficiente.
113 w6 = w1 * Wi;
114 w2 = (w2 - w6) >> 15;
115
116 *ReB = (int16_t) w2 ;   // Guardar resultado W3 aquí (Parte Real).
117 w2 = w2 >> 15;
118
119 w2 = w0 * Wi;           // Multiplicar por coeficiente.
120 w6 = w1 * Wr;
121 w2 = (w2 + w6) >> 15;
122
123 *ImB = (int16_t) w2;    // Guardar resultado W3 aquí (Parte
124                          Imaginaria).
125 }
```

```
1  /*
2      MODELO DE PRUEBA de ANALIZADOR DE ESPECTRO
3      Catedra: MEDIDAS ELECTRONICAS II
4      Docentes: C. Cappelletti, M. F. Krenz
5      Grupo N°: 3
6      Alumnos: A. A. Baldini, N. H. Gimenez, T. A. Pentacolo, L. D.
7      Rispoli.
8  */
9  /*
10     En este ejemplo, el programa (mediante un loop) habilita la
11     conversión de datos por el ADC; para luego, aplicar el filtro
12     Hamming a los datos.
13     Una vez limpio esto, se procede al cálculo de la respectiva FFT y
14     preparamos el espectro para solo ver el Diagrama de Amplitud.
15     Finalmente se procede a mostrar el mismo.
16  */
17  //Declaraciones_____
18
19  #include <arduinoFFT.h>
20  #include "SAMDUETimerInterrupt.h"
21
22  uint16_t Timer_Index = 0;           // Identificador del Timer.
23
24  const uint16_t samples = 32;        // Cantidad de muestras a
25  analizar.
26  const double Fm = 1E5;              // Frecuencia de muestreo.
27
28  arduinoFFT FFT = arduinoFFT();      // Creo el objeto FFT.
29
30  double vReal[samples];              // Vector que contendrá los
31  valores adquiridos en el ADC.
32  double vAnalog[samples];            // Vector que contendrá los
33  valores reales calculados en la FFT.
34  double vImag[samples];              // Vector que contendrá los
35  valores imaginarios.
36
37  //TimerHandler1_____
38
39  void TimerHandler1()
40  /*
41   *   TimerHandle1();
42   *   En este método se produce la rotación de los datos adquiridos
43   *   y se añade al inicio del vector el nuevo dato adquirido.
44   */
45  {
46      PIOB->PIO_ODSR = 1<<25;        // Escribo un 1 en el pin 25
47      del puerto B.
48
49      for (int i = samples; i > 0; i--) // Rotamos el vector.
50      {
51          vReal[i] = vReal[i-1];
52      }
53  }
```



```
46
47     vReal[0] = analogRead(A7);           // Leemos el nuevo dato.
48
49     PIOB->PIO_ODSR = 0;                 // Escribo un 0 en el pin 25
        del puerto B.
50 }
51
52 //setup_____
53
54 void setup() {
55     PIOB->PIO_PER = (1<<25);
        // Configuramos el puerto B para controlarlo por PIO.
56     PIOB->PIO_OER = (1<<25);
        // Establecemos el pin 25 del puerto B como salida.
57
58     analogReadResolution(10);
        // Establecemos la resolución del ADC en 10 bits.
59
60     for (int i = 0; i < samples; i++)
        // Inicializo los vectores en 0.
61     {
62         vReal[i] = 0;
63         vAnalog[i] = 0;
64         vImag[i] = 0;
65     }
66
67     DueTimerInterrupt dueTimerInterrupt = DueTimer.getAvailable();
        // Creamos un objeto DueTimerInterrupt (administra interrupción de
        Timer).
68     dueTimerInterrupt.attachInterruptInterval(10, TimerHandler1);
        // Establecemos una interrupción cada 10 [us], obteniendo una
        frecuencia de 100[kHz].
69     Timer_Index = dueTimerInterrupt.getTimerNumber();
        // Obtenemos el identificador del Timer.
70
71     Serial.begin(115200);
        // Inicializamos el puerto serie.
72     while(!Serial);
        // Esperamos a que finalice la inicialización.
73     Serial.println("Ready");
74     adc_start(ADC);
        // Iniciamos la conversión del ADC.
75 }
76
77 //loop_____
78
79 void loop() {
80     DueTimerPtr[Timer_Index].stopTimer();
        // Pausamos el Timer.
81     for (int i = 0; i < samples; i++)
82     {
83         vAnalog[i] = vReal[i] - 512;
        // Copiamos los valores adquiridos hasta el momento y eliminamos
        la componente de continua.
```

```
84     vImag[i] = 0;
85     // Limpiamos los valores imaginarios.
86     DueTimerPtr[Timer_Index].startTimer();
87     // Activamos nuevamente el Timer.
88     FFT.Windowing(vAnalog, samples, FFT_WIN_TYP_HAMMING, FFT_FORWARD);
89     // Aplicamos la ventana Hamming al los datos adquiridos.
90     FFT.Compute(vAnalog, vImag, samples, FFT_FORWARD);
91     // Aplicamos la FFT a los datos adquiridos.
92     FFT.ComplexToMagnitude(vAnalog, vImag, samples);
93     // Obtenemos la amplitud del espectro calculado.
94     PrintVector(vAnalog, (samples >> 1));
95     // Transmitimos la magnitud del espectro calculado.
96     delay(10);
97     // Esperamos 10 [ms].
98 }
99
100 //PrintVector_____
101
102 void PrintVector(double *vData, uint16_t bufferSize)
103 /*
104  * PrintVector(double *vData, uint16_t bufferSize);
105  * double *vData: Es el vector que apunta a los datos a imprimir.
106  * uint16_t bufferSize: Cantidad de datos contenidos en el vector.
107  * Este método calcula el valor de frecuencia correspondiente a cada
108  * elemento
109  * del vector, y transmite tanto la frecuencia calculada como su
110  * valor de
111  * espectro.
112  */
113 {
114     for (uint16_t i = 0; i < bufferSize; i++)
115     // Por cada elemento.
116     {
117         double abscissa;
118         abscissa = ((i * 1.0 * Fm) / samples);
119         // Obtenemos el valor de frecuencia correspondiente.
120         Serial.print(abscissa, 6);
121         Serial.print("Hz");
122         Serial.print(" ");
123         Serial.println(vData[i], 4);
124         // Transmitimos la información.
125     }
126     Serial.println();
127 }
```

```
1  /*
2
3  FFT libray
4  Copyright (C) 2010 Didier Longueville
5  Copyright (C) 2014 Enrique Condes
6
7  This program is free software: you can redistribute it and/or
8  modify
9  it under the terms of the GNU General Public License as
10 published by
11 the Free Software Foundation, either version 3 of the License, or
12 (at your option) any later version.
13
14 This program is distributed in the hope that it will be useful,
15 but WITHOUT ANY WARRANTY; without even the implied warranty of
16 MERCHANTABILITY or FITNESS FOR A PARTICULAR PURPOSE. See the
17 GNU General Public License for more details.
18
19 You should have received a copy of the GNU General Public License
20 along with this program. If not, see
21 <http://www.gnu.org/licenses/>.
22 */
23
24 #ifndef arduinoFFT_h /* Prevent loading library twice */
25 #define arduinoFFT_h
26 #ifdef ARDUINO
27     #if ARDUINO >= 100
28         #include "Arduino.h"
29     #else
30         #include "WProgram.h" /* This is where the standard Arduino
31                                code lies */
32     #endif
33 #else
34     #include <stdlib.h>
35     #include <stdio.h>
36     #ifdef AVR_
37         #include <avr/io.h>
38         #include <avr/pgmspace.h>
39     #endif
40     #include <math.h>
41     #include "defs.h"
42     #include "types.h"
43 #endif
44
45 #define FFT_LIB_REV 0x14
46 /* Custom constants */
47 #define FFT_FORWARD 0x01
48 #define FFT_REVERSE 0x00
49
50 /* Windowing type */
51 #define FFT_WIN_TYP_RECTANGLE 0x00 /* rectangle (Box car) */
52 #define FFT_WIN_TYP_HAMMING 0x01 /* hamming */
53 #define FFT_WIN_TYP_HANN 0x02 /* hann */
```

```

51  #define FFT_WIN_TYP_TRIANGLE 0x03 /* triangle (Bartlett) */
52  #define FFT_WIN_TYP_NUTTALL 0x04 /* nuttall */
53  #define FFT_WIN_TYP_BLACKMAN 0x05 /* blackman */
54  #define FFT_WIN_TYP_BLACKMAN_NUTTALL 0x06 /* blackman nuttall */
55  #define FFT_WIN_TYP_BLACKMAN_HARRIS 0x07 /* blackman harris*/
56  #define FFT_WIN_TYP_FLT_TOP 0x08 /* flat top */
57  #define FFT_WIN_TYP_WELCH 0x09 /* welch */
58  /*Mathematial constants*/
59  #define twoPi 6.28318531
60  #define fourPi 12.56637061
61  #define sixPi 18.84955593
62
63  #ifndef AVR___
64      static const double _c1[] PROGMEM = {0.0000000000, 0.7071067812,
65      0.9238795325, 0.9807852804,
66
67      0.9951847267, 0.9987954562, 0.9996988187, 0.9999247018,
68
69      0.9999811753, 0.9999952938, 0.9999988235, 0.9999997059,
70
71      0.9999999265, 0.9999999816, 0.9999999954, 0.9999999989,
72
73      0.9999999997};
74      static const double _c2[] PROGMEM = {1.0000000000, 0.7071067812,
75      0.3826834324, 0.1950903220,
76
77      0.0980171403, 0.0490676743, 0.0245412285, 0.0122715383,
78
79      0.0061358846, 0.0030679568, 0.0015339802, 0.0007669903,
80
81      0.0003834952, 0.0001917476, 0.0000958738, 0.0000479369,
82
83      0.0000239684};
84  #endif
85  class arduinoFFT {
86  public:
87      /* Constructor */
88      arduinoFFT(void);
89      arduinoFFT(double *vReal, double *vImag, uint16_t samples,
90      double samplingFrequency);
91      /* Destructor */
92      ~arduinoFFT(void);
93      /* Functions */
94      uint8_t Revision(void);
95      uint8_t Exponent(uint16_t value);
96
97      void ComplexToMagnitude(double *vReal, double *vImag, uint16_t
98      samples);
99      void Compute(double *vReal, double *vImag, uint16_t samples,
100      uint8_t dir);
101      void Compute(double *vReal, double *vImag, uint16_t samples,
102      uint8_t power, uint8_t dir);
103      void DCRemoval(double *vData, uint16_t samples);
104      double MajorPeak(double *vD, uint16_t samples, double

```

```
    samplingFrequency);
91 void MajorPeak(double *vD, uint16_t samples, double
    samplingFrequency, double *f, double *v);
92 void Windowing(double *vData, uint16_t samples, uint8_t
    windowType, uint8_t dir);
93
94 void ComplexToMagnitude();
95 void Compute(uint8_t dir);
96 void DCRemoval();
97 double MajorPeak();
98 void MajorPeak(double *f, double *v);
99 void Windowing(uint8_t windowType, uint8_t dir);
100
101 private:
102     /* Variables */
103     uint16_t _samples;
104     double _samplingFrequency;
105     double *_vReal;
106     double *_vImag;
107     uint8_t _power;
108     /* Functions */
109     void Swap(double *x, double *y);
110 };
111
112 #endif
113
```



```
1  /*
2
3      FFT libray
4      Copyright (C) 2010 Didier Longueville
5      Copyright (C) 2014 Enrique Condes
6
7      This program is free software: you can redistribute it and/or
8      modify
9      it under the terms of the GNU General Public License as
10     published by
11     the Free Software Foundation, either version 3 of the License, or
12     (at your option) any later version.
13
14     This program is distributed in the hope that it will be useful,
15     but WITHOUT ANY WARRANTY; without even the implied warranty of
16     MERCHANTABILITY or FITNESS FOR A PARTICULAR PURPOSE. See the
17     GNU General Public License for more details.
18
19     You should have received a copy of the GNU General Public License
20     along with this program. If not, see
21     <http://www.gnu.org/licenses/>.
22 */
23
24 #include "arduinoFFT.h"
25
26 arduinoFFT::arduinoFFT(void)
27 { // Constructor
28     #warning("This method is deprecated and may be removed on future
29     revisions.")
30 }
31
32 arduinoFFT::arduinoFFT(double *vReal, double *vImag, uint16_t
33 samples, double samplingFrequency)
34 { // Constructor
35     this->_vReal = vReal;
36     this->_vImag = vImag;
37     this->_samples = samples;
38     this->_samplingFrequency = samplingFrequency;
39     this->_power = Exponent(samples); 36
40 }
41
42 arduinoFFT::~arduinoFFT(void)
43 {
44     // Destructor
45 }
46
47 uint8_t arduinoFFT::Revision(void)
48 {
49     return(FFT_LIB_REV);
50 }
51
52 void arduinoFFT::Compute(double *vReal, double *vImag, uint16_t
53 samples, uint8_t dir)
```

```

49  {
50      #warning("This method is deprecated and may be removed on future
        revisions.")
51      Compute(vReal, vImag, samples, Exponent(samples), dir); 52}
53
54  void arduinoFFT::Compute(uint8_t dir)
55  {
56      // Computes in-place complex-to-complex FFT /
57      // Reverse bits /
58      uint16_t j = 0;
59      for (uint16_t i = 0; i < (this->_samples - 1); i++) {
60          if (i < j) {
61              Swap(&this->_vReal[i], &this->_vReal[j]);
62              if (dir == FFT_REVERSE)
63                  Swap(&this->_vImag[i], &this->_vImag[j]);
64          }
65          uint16_t k = (this->_samples >> 1);
66          while (k <= j) {
67              j -= k;
68              k >>= 1;
69          }
70          j += k;
71      }
72      // Compute the FFT /
73      #ifdef AVR_____
74      uint8_t index = 0;
75      #endif
76      double c1 = -1.0;
77      double c2 = 0.0;
78      uint16_t l2 = 1;
79      for (uint8_t l = 0; (l < this->_power); l++) {
80          uint16_t l1 = l2;
81          l2 <<= 1;
82          double u1 = 1.0;
83          double u2 = 0.0;
84          for (j = 0; j < l1; j++) {
85              for (uint16_t i = j; i < this->_samples; i += l2) {
86                  uint16_t i1 = i + l1;
87                  double t1 = u1 * this->_vReal[i1] - u2 *
                        this->_vImag[i1];
88                  double t2 = u1 * this->_vImag[i1] + u2 *
                        this->_vReal[i1];
89                  this->_vReal[i1] = this->_vReal[i] - t1;
90                  this->_vImag[i1] = this->_vImag[i] - t2;
91                  this->_vReal[i] += t1;
92                  this->_vImag[i] += t2; 92
93              }
94              double z = ((u1 * c1) - (u2 * c2));
95              u2 = ((u1 * c2) + (u2 * c1));
96              u1 = z;
97          }
98      }
99      #ifdef AVR_____
100      c2 = pgm_read_float_near(&(_c2[index]));
101      c1 = pgm_read_float_near(&(_c1[index]));

```

```

100         index++;
101     #else
102         c2 = sqrt((1.0 - c1) / 2.0);
103         c1 = sqrt((1.0 + c1) / 2.0);
104     #endif
105     if (dir == FFT_FORWARD) {
106         c2 = -c2;
107     }
108 }
109 // Scaling for reverse transform /
110 if (dir != FFT_FORWARD) {
111     for (uint16_t i = 0; i < this->_samples; i++) {
112         this->_vReal[i] /= this->_samples;
113         this->_vImag[i] /= this->_samples;
114     }
115 }
116 }
117
118 void arduinoFFT::Compute(double *vReal, double *vImag, uint16_t
samples, uint8_t power, uint8_t dir)
119 { // Computes in-place complex-to-complex FFT
120     // Reverse bits
121     #warning("This method is deprecated and may be removed on future
revisions.")
122     uint16_t j = 0;
123     for (uint16_t i = 0; i < (samples - 1); i++) {
124         if (i < j) {
125             Swap(&vReal[i], &vReal[j]);
126             if (dir == FFT_REVERSE)
127                 Swap(&vImag[i], &vImag[j]);
128         }
129         uint16_t k = (samples >> 1);
130         while (k <= j) {
131             j -= k;
132             k >>= 1;
133         }
134         j += k;
135     }
136     // Compute the FFT
137     #ifdef AVR___
138     uint8_t index = 0;
139     #endif
140     double c1 = -1.0;
141     double c2 = 0.0;
142     uint16_t l2 = 1;
143     for (uint8_t l = 0; (l < power); l++) {
144         uint16_t l1 = l2;
145         l2 <<= 1;
146         double u1 = 1.0;
147         double u2 = 0.0;
148         for (j = 0; j < l1; j++) {
149             for (uint16_t i = j; i < samples; i += l2) {
150                 uint16_t i1 = i + l1;
151                 double t1 = u1 * vReal[i1] - u2 * vImag[i1];

```

```

152         double t2 = u1 * vImag[i1] + u2 * vReal[i1];
153         vReal[i1] = vReal[i] - t1;
154         vImag[i1] = vImag[i] - t2;
155         vReal[i] += t1;
156         vImag[i] += t2;
157     }
158     double z = ((u1 * c1) - (u2 * c2));
159     u2 = ((u1 * c2) + (u2 * c1));
160     u1 = z;
161 }
162 #ifndef AVR_____
163     c2 = pgm_read_float_near(&_c2[index]);
164     c1 = pgm_read_float_near(&_c1[index]);
165     index++;
166 #else
167     c2 = sqrt((1.0 - c1) / 2.0);
168     c1 = sqrt((1.0 + c1) / 2.0);
169 #endif
170     if (dir == FFT_FORWARD) {
171         c2 = -c2;
172     }
173 }
174 // Scaling for reverse transform
175 if (dir != FFT_FORWARD) {
176     for (uint16_t i = 0; i < samples; i++) {
177         vReal[i] /= samples;
178         vImag[i] /= samples;
179     }
180 }
181 }
182
183 void arduinoFFT::ComplexToMagnitude()
184 { // vM is half the size of vReal and vImag
185     for (uint16_t i = 0; i < this->_samples; i++) {
186         this->_vReal[i] = sqrt(sq(this->_vReal[i]) +
187                                sq(this->_vImag[i]));
188     }
189 }
190
191 void arduinoFFT::ComplexToMagnitude(double *vReal, double *vImag,
192 uint16_t samples)
193 { // vM is half the size of vReal and vImag
194     #warning("This method is deprecated and may be removed on future
195     revisions.")
196     for (uint16_t i = 0; i < samples; i++) {
197         vReal[i] = sqrt(sq(vReal[i]) + sq(vImag[i]));
198     }
199 }
200
201 void arduinoFFT::DCRemoval()
202 {
203     // calculate the mean of vData
204     double mean = 0;
205     for (uint16_t i = 0; i < this->_samples; i++)

```

```

203     {
204         mean += this->_vReal[i];
205     }
206     mean /= this->_samples;
207     // Subtract the mean from vData
208     for (uint16_t i = 0; i < this-> samples; i++)
209     {
210         this->_vReal[i] -= mean;
211     }
212 }
213
214 void arduinoFFT::DCRemoval(double *vData, uint16_t samples)
215 {
216     // calculate the mean of vData
217     #warning("This method is deprecated and may be removed on future
218     revisions.")
219     double mean = 0;
220     for (uint16_t i = 0; i < samples; i++)
221     {
222         mean += vData[i];
223     }
224     mean /= samples;
225     // Subtract the mean from vData
226     for (uint16_t i = 0; i < samples; i++)
227     {
228         vData[i] -= mean;
229     }
230
231 void arduinoFFT::Windowing(uint8_t windowType, uint8_t dir)
232 { // Weighing factors are computed once before multiple use of FFT
233 // The weighing function is symetric; half the weighs are recorded
234     double samplesMinusOne = (double(this->_samples) - 1.0);
235     for (uint16_t i = 0; i < (this->_samples >> 1); i++) {
236         double indexMinusOne = double(i);
237         double ratio = (indexMinusOne / samplesMinusOne);
238         double weighingFactor = 1.0;
239         // Compute and record weighting factor
240         switch (windowType) {
241             case FFT_WIN_TYP_RECTANGLE: // rectangle (box car)
242                 weighingFactor = 1.0;
243                 break;
244             case FFT_WIN_TYP_HAMMING: // hamming
245                 weighingFactor = 0.54 - (0.46 * cos(twoPi * ratio));
246                 break;
247             case FFT_WIN_TYP_HANN: // hann
248                 weighingFactor = 0.54 * (1.0 - cos(twoPi * ratio));
249                 break;
250             case FFT_WIN_TYP_TRIANGLE: // triangle (Bartlett)
251                 #if defined(ESP8266) || defined(ESP32)
252                 weighingFactor = 1.0 - ((2.0 * fabs(indexMinusOne -
253                 (samplesMinusOne / 2.0))) / samplesMinusOne);
254                 #else
255                 weighingFactor = 1.0 - ((2.0 * abs(indexMinusOne -

```

```

    (samplesMinusOne / 2.0))) / samplesMinusOne);
255     #endif
256     break;
257     case FFT_WIN_TYP_NUTTALL: // nuttall
258         weighingFactor = 0.355768 - (0.487396 * (cos(twoPi *
            ratio))) + (0.144232 * (cos(fourPi * ratio))) -
            (0.012604 * (cos(sixPi * ratio)));
259         break;
260     case FFT_WIN_TYP_BLACKMAN: // blackman
261         weighingFactor = 0.42323 - (0.49755 * (cos(twoPi *
            ratio))) + (0.07922 * (cos(fourPi * ratio)));
262         break;
263     case FFT_WIN_TYP_BLACKMAN_NUTTALL: // blackman nuttall
264         weighingFactor = 0.3635819 - (0.4891775 * (cos(twoPi *
            ratio))) + (0.1365995 * (cos(fourPi * ratio))) -
            (0.0106411 * (cos(sixPi * ratio)));
265         break;
266     case FFT_WIN_TYP_BLACKMAN_HARRIS: // blackman harris
267         weighingFactor = 0.35875 - (0.48829 * (cos(twoPi *
            ratio))) + (0.14128 * (cos(fourPi * ratio))) - (0.01168
            * (cos(sixPi * ratio)));
268         break;
269     case FFT_WIN_TYP_FLT_TOP: // flat top
270         weighingFactor = 0.2810639 - (0.5208972 * cos(twoPi *
            ratio)) + (0.1980399 * cos(fourPi * ratio));
271         break;
272     case FFT_WIN_TYP_WELCH: // welch
273         weighingFactor = 1.0 - sq((indexMinusOne -
            samplesMinusOne / 2.0) / (samplesMinusOne / 2.0));
274         break;
275     }
276     if (dir == FFT_FORWARD) {
277         this->_vReal[i] *= weighingFactor;
278         this->_vReal[this->_samples - (i + 1)] *= weighingFactor;
279     }
280     else {
281         this->_vReal[i] /= weighingFactor;
282         this->_vReal[this->_samples - (i + 1)] /= weighingFactor;
283     }
284 }
285 }
286
287
288 void arduinoFFT::Windowing(double *vData, uint16_t samples, uint8_t
windowType, uint8_t dir)
289 {
290     // Weighing factors are computed once before multiple use of FFT
291     // The weighing function is symetric; half the weighs are recorded
292     #warning("This method is deprecated and may be removed on future
revisions.")
293     double samplesMinusOne = (double(samples) - 1.0);
294     for (uint16_t i = 0; i < (samples >> 1); i++) {
295         double indexMinusOne = double(i);
296         double ratio = (indexMinusOne / samplesMinusOne);
297         double weighingFactor = 1.0;

```

```

297 // Compute and record weighting factor
298 switch (windowType) {
299 case FFT_WIN_TYP_RECTANGLE: // rectangle (box car)
300     weighingFactor = 1.0;
301     break;
302 case FFT_WIN_TYP_HAMMING: // hamming
303     weighingFactor = 0.54 - (0.46 * cos(twoPi * ratio));
304     break;
305 case FFT_WIN_TYP_HANN: // hann
306     weighingFactor = 0.54 * (1.0 - cos(twoPi * ratio));
307     break;
308 case FFT_WIN_TYP_TRIANGLE: // triangle (Bartlett)
309     #if defined(ESP8266) || defined(ESP32)
310     weighingFactor = 1.0 - ((2.0 * fabs(indexMinusOne -
311     (samplesMinusOne / 2.0))) / samplesMinusOne);
312     #else
313     weighingFactor = 1.0 - ((2.0 * abs(indexMinusOne -
314     (samplesMinusOne / 2.0))) / samplesMinusOne);
315     #endif
316     break;
317 case FFT_WIN_TYP_NUTTALL: // nuttall
318     weighingFactor = 0.355768 - (0.487396 * (cos(twoPi *
319     ratio))) + (0.144232 * (cos(fourPi * ratio))) -
320     (0.012604 * (cos(sixPi * ratio)));
321     break;
322 case FFT_WIN_TYP_BLACKMAN: // blackman
323     weighingFactor = 0.42323 - (0.49755 * (cos(twoPi *
324     ratio))) + (0.07922 * (cos(fourPi * ratio)));
325     break;
326 case FFT_WIN_TYP_BLACKMAN_NUTTALL: // blackman nuttall
327     weighingFactor = 0.3635819 - (0.4891775 * (cos(twoPi *
328     ratio))) + (0.1365995 * (cos(fourPi * ratio))) -
329     (0.0106411 * (cos(sixPi * ratio)));
330     break;
331 case FFT_WIN_TYP_BLACKMAN_HARRIS: // blackman harris
332     weighingFactor = 0.35875 - (0.48829 * (cos(twoPi *
333     ratio))) + (0.14128 * (cos(fourPi * ratio))) - (0.01168
334     * (cos(sixPi * ratio)));
335     break;
336 case FFT_WIN_TYP_FLT_TOP: // flat top
337     weighingFactor = 0.2810639 - (0.5208972 * cos(twoPi *
338     ratio)) + (0.1980399 * cos(fourPi * ratio));
339     break;
340 case FFT_WIN_TYP_WELCH: // welch
341     weighingFactor = 1.0 - sq((indexMinusOne -
342     samplesMinusOne / 2.0) / (samplesMinusOne / 2.0));
343     break;
344 }
345 if (dir == FFT_FORWARD) {
346     vData[i] *= weighingFactor;
347     vData[samples - (i + 1)] *= weighingFactor;
348 }
349 else {
350     vData[i] /= weighingFactor;

```



```

340         vData[samples - (i + 1)] /= weighingFactor;
341     }
342 }
343 }
344
345 double arduinoFFT::MajorPeak()
346 {
347     double maxY = 0;
348     uint16_t IndexOfMaxY = 0;
349     //If sampling_frequency = 2 * max_frequency in signal,
350     //value would be stored at position samples/2
351     for (uint16_t i = 1; i < ((this->samples >> 1) + 1); i++) {
352         if ((this->_vReal[i-1] < this->_vReal[i]) &&
353             (this->_vReal[i] > this->_vReal[i+1])) {
354             if (this->_vReal[i] > maxY) {
355                 maxY = this->_vReal[i];
356                 IndexOfMaxY = i;
357             }
358         }
359     }
360     double delta = 0.5 * ((this->_vReal[IndexOfMaxY-1] -
361         this->_vReal[IndexOfMaxY+1]) / (this->_vReal[IndexOfMaxY-1] -
362         (2.0 * this->_vReal[IndexOfMaxY]) + this->_vReal[IndexOfMaxY+1]));
363     double interpolatedX = ((IndexOfMaxY + delta) *
364         this->samplingFrequency) / (this->samples-1);
365     if (IndexOfMaxY == (this->samples >> 1)) //To improve calculation
366         on edge values
367         interpolatedX = ((IndexOfMaxY + delta) *
368             this->samplingFrequency) / (this->samples);
369     // returned value: interpolated frequency peak apex
370     return(interpolatedX);
371 }
372
373 void arduinoFFT::MajorPeak(double *f, double *v)
374 {
375     double maxY = 0;
376     uint16_t IndexOfMaxY = 0;
377     //If sampling_frequency = 2 * max_frequency in signal,
378     //value would be stored at position samples/2
379     for (uint16_t i = 1; i < ((this->samples >> 1) + 1); i++) {
380         if ((this->_vReal[i - 1] < this->_vReal[i]) &&
381             (this->_vReal[i] > this->_vReal[i + 1])) {
382             if (this->_vReal[i] > maxY) {
383                 maxY = this->_vReal[i];
384                 IndexOfMaxY = i;
385             }
386         }
387     }
388     double delta = 0.5 * ((this->_vReal[IndexOfMaxY - 1] -
389         this->_vReal[IndexOfMaxY + 1]) / (this->_vReal[IndexOfMaxY - 1] -
390         (2.0 * this->_vReal[IndexOfMaxY]) + this->_vReal[IndexOfMaxY +
391         1]));
392     double interpolatedX = ((IndexOfMaxY + delta) *
393         this->samplingFrequency) / (this->samples - 1);

```

```

383     if (IndexOfMaxY == (this->_samples >> 1)) //To improve
        calculation on edge values
384         interpolatedX = ((IndexOfMaxY + delta) *
            this->_samplingFrequency) / (this->_samples);
385     // returned value: interpolated frequency peak apex
386     *f = interpolatedX;
387     #if defined(ESP8266) || defined(ESP32)
388     *v = fabs(this->_vReal[IndexOfMaxY - 1] - (2.0 *
        this->_vReal[IndexOfMaxY]) + this->_vReal[IndexOfMaxY + 1]);
389     #else
390     *v = abs(this->_vReal[IndexOfMaxY - 1] - (2.0 *
        this->_vReal[IndexOfMaxY]) + this->_vReal[IndexOfMaxY + 1]);
391     #endif
392 }
393
394 double arduinoFFT::MajorPeak(double *vD, uint16_t samples, double
    samplingFrequency)
395 {
396     #warning("This method is deprecated and may be removed on future
        revisions.")
397     double maxY = 0;
398     uint16_t IndexOfMaxY = 0;
399     //If sampling_frequency = 2 * max_frequency in signal,
400     //value would be stored at position samples/2
401     for (uint16_t i = 1; i < ((samples >> 1) + 1); i++) {
402         if ((vD[i-1] < vD[i]) && (vD[i] > vD[i+1])) {
403             if (vD[i] > maxY) {
404                 maxY = vD[i];
405                 IndexOfMaxY = i;
406             }
407         }
408     }
409     double delta = 0.5 * ((vD[IndexOfMaxY-1] - vD[IndexOfMaxY+1]) /
        (vD[IndexOfMaxY-1] - (2.0 * vD[IndexOfMaxY]) +
        vD[IndexOfMaxY+1]));
410     double interpolatedX = ((IndexOfMaxY + delta) *
        samplingFrequency) / (samples-1);
411     if (IndexOfMaxY == (samples >> 1)) //To improve calculation on edge
        values
412         interpolatedX = ((IndexOfMaxY + delta) * samplingFrequency)
            / (samples);
413     // returned value: interpolated frequency peak apex
414     return(interpolatedX);
415 }
416
417 void arduinoFFT::MajorPeak(double *vD, uint16_t samples, double
    samplingFrequency, double *f, double *v)
418 {
419     #warning("This method is deprecated and may be removed on future
        revisions.")
420     double maxY = 0;
421     uint16_t IndexOfMaxY = 0;
422     //If sampling_frequency = 2 * max_frequency in signal,
423     //value would be stored at position samples/2

```

```
424     for (uint16_t i = 1; i < ((samples >> 1) + 1); i++) {
425         if ((vD[i - 1] < vD[i]) && (vD[i] > vD[i + 1])) {
426             if (vD[i] > maxY) {
427                 maxY = vD[i];
428                 IndexOfMaxY = i;
429             }
430         }
431     }
432     double delta = 0.5 * ((vD[IndexOfMaxY - 1] - vD[IndexOfMaxY +
433         1]) / (vD[IndexOfMaxY - 1] - (2.0 * vD[IndexOfMaxY]) +
434         vD[IndexOfMaxY + 1]));
435     double interpolatedX = ((IndexOfMaxY + delta) *
436         samplingFrequency) / (samples - 1);
437     //double popo =
438     if (IndexOfMaxY == (samples >> 1)) //To improve calculation on
439         edge values
440         interpolatedX = ((IndexOfMaxY + delta) * samplingFrequency)
441             / (samples);
442     // returned value: interpolated frequency peak apex
443     *f = interpolatedX;
444     #if defined(ESP8266) || defined(ESP32)
445     *v = fabs(vD[IndexOfMaxY - 1] - (2.0 * vD[IndexOfMaxY]) +
446         vD[IndexOfMaxY + 1]);
447     #else
448     *v = abs(vD[IndexOfMaxY - 1] - (2.0 * vD[IndexOfMaxY]) +
449         vD[IndexOfMaxY + 1]);
450     #endif
451 }
452
453 uint8_t arduinoFFT::Exponent(uint16_t value)
454 {
455     #warning("This method may not be accessible on future revisions.")
456     // Calculates the base 2 logarithm of a value
457     uint8_t result = 0;
458     while (((value >> result) & 1) != 1) result++;
459     return(result);
460 }
461
462 // Private functions
463
464 void arduinoFFT::Swap(double *x, double *y)
465 {
466     double temp = *x;
467     *x = *y;
468     *y = temp;
469 }
```

```

1  /*****
   *****/
2  SAMDUETimerInterrupt.h
3  For SAM DUE boards
4  Written by Khoi Hoang
5
6  Built by Khoi Hoang
   https://github.com/khoih-prog/SAMDUE\_TimerInterrupt
7  Licensed under MIT license
8
9  Now even you use all these new 16 ISR-based timers,with their
   maximum interval practically unlimited (limited only by
10 unsigned long miliseconds), you just consume only one SAM DUE
   timer and avoid conflicting with other cores' tasks.
11 The accuracy is nearly perfect compared to software timers. The
   most important feature is they're ISR-based timers
12 Therefore, their executions are not blocked by bad-behaving
   functions / tasks.
13 This important feature is absolutely necessary for
   mission-critical tasks.
14
15 Based on SimpleTimer - A timer library for Arduino.
16 Author: mromani@ottotecnica.com
17 Copyright (c) 2010 OTTOTECNICA Italy
18
19 Based on BlynkTimer.h
20 Author: Volodymyr Shymanskyi
21
22 Version: 1.2.0
23
24 Version Modified By      Date      Comments
25 -----
26 1.0.1    K Hoang        06/11/2020 Initial coding
27 1.1.1    K.Hoang        06/12/2020 Add Change_Interval example. Bump
   up version to sync with other TimerInterrupt Libraries
28 1.2.0    K.Hoang        10/01/2021 Add better debug feature. Optimize
   code and examples to reduce RAM usage
29 *****/
   *****/
30
31 #pragma once
32
33 #ifndef SAMDUETIMERINTERRUPT_H
34 #define SAMDUETIMERINTERRUPT_H
35
36 #if !( defined(ARDUINO_SAM_DUE) || defined( SAM3X8E ) )
37   #error This code is designed to run on SAM DUE board / platform!
   Please check your Tools->Board setting.
38 #endif
39
40 #include "Arduino.h"
41 #include <inttypes.h>
42
43 #ifndef SAMDUE_TIMER_INTERRUPT_VERSION

```

```

44     #define SAMDUE_TIMER_INTERRUPT_VERSION    "SAMDUETimerInterrupt
        v1.2.0"
45     #endif
46
47     #include "TimerInterrupt_Generic_Debug.h"
48
49     #ifdef BOARD_NAME
50         #undef BOARD_NAME
51     #endif
52
53     #ifndef BOARD_NAME
54         #define BOARD_NAME            "SAM DUE"
55     #endif
56
57     /*
58         This fixes compatibility for Arduino Servo Library.
59         Uncomment to make it compatible.
60
61         Note that:
62             + Timers: 0,2,3,4,5 WILL NOT WORK, and will
63               neither be accessible by Timer0,...
64     */
65     // #define USING_SERVO_LIB    true
66
67     #if USING_SERVO_LIB
68         // Arduino Servo library uses timers 0,2,3,4,5.
69         // You must have `#define USING_SERVO_LIB true` in your sketch.
70         #warning Using Servo Library, Timer0, 2, 3, 4 and 5 not available
71     #endif
72
73     #if defined TC2
74         #define NUM_TIMERS    9
75     #else
76         #define NUM_TIMERS    6
77     #endif
78
79     typedef void (*timerCallback)    ();
80
81     typedef struct
82     {
83         Tc *tc;
84         uint32_t channel;
85         IRQn_Type irq;
86     } DueTimerIRQInfo;
87
88     typedef struct
89     {
90         const char* tc;
91         uint32_t channel;
92         const char* irq;
93     } DueTimerIRQInfoStr;
94
95     // For printing info of selected Timer
96     const DueTimerIRQInfoStr TimersInfo[NUM_TIMERS] =

```

```
97  {
98      { "TC0", 0, "TC0_IRQn" },
99      { "TC0", 1, "TC1_IRQn" },
100     { "TC0", 2, "TC2_IRQn" },
101     { "TC1", 0, "TC3_IRQn" },
102     { "TC1", 1, "TC4_IRQn" },
103     { "TC1", 2, "TC5_IRQn" },
104
105     #if defined(TC2)
106         { "TC2", 0, "TC6_IRQn" },
107         { "TC2", 1, "TC7_IRQn" },
108         { "TC2", 2, "TC8_IRQn" },
109     #endif
110 };
111
112 class DueTimerInterrupt
113 {
114     protected:
115
116         // Represents the timer id (index for the array of
117         // DueTimerIRQInfo structs)
118         const unsigned short _timerNumber;
119
120         // Stores the object timer frequency
121         // (allows to access current timer period and frequency):
122         static double _frequency[NUM_TIMERS];
123
124         // Make Interrupt handlers friends, so they can use _callbacks
125         friend void TC0_Handler();
126         friend void TC1_Handler();
127         friend void TC2_Handler();
128         friend void TC3_Handler();
129         friend void TC4_Handler();
130         friend void TC5_Handler();
131
132         #if defined(TC2)
133             friend void TC6_Handler();
134             friend void TC7_Handler();
135             friend void TC8_Handler();
136         #endif
137
138         static timerCallback _callbacks[NUM_TIMERS];
139
140         // Store timer configuration (static, as it's fixed for every
141         // object)
142         static const DueTimerIRQInfo Timers[NUM_TIMERS];
143
144     public:
145
146         DueTimerInterrupt(unsigned short timer) : _timerNumber(timer)
147         {
148             /*
149              * The constructor of the class DueTimerInterrupt
150              */
151         }
```

```
149     }
150
151     static DueTimerInterrupt getAvailable()
152     __attribute__((always_inline))
153     {
154         /*
155          * Return the first timer with no callback set
156          */
157         for (int i = 0; i < NUM_TIMERS; i++)
158         {
159             if (!_callbacks[i])
160             {
161                 TISR_LOGWARN3(F("Using Timer("), i, F(") ="),
162                               TimersInfo[i].tc);
163                 TISR_LOGWARN3(F("Channel ="), TimersInfo[i].channel, F(",
164                               IRQ ="), TimersInfo[i].irq);
165
166                 return DueTimerInterrupt(i);
167             }
168         }
169
170         // Default, return Timer0;
171         return DueTimerInterrupt(0);
172     }
173
174     DueTimerInterrupt& attachInterruptInterval(double microseconds,
175     timerCallback callback) __attribute__((always_inline))
176     {
177         _callbacks[_timerNumber] = callback;
178
179         return startTimer(microseconds);
180     }
181
182     DueTimerInterrupt& attachInterrupt(float frequency,
183     timerCallback callback) __attribute__((always_inline))
184     {
185         return attachInterruptInterval((double) (1000000.0f /
186     frequency), callback);
187     }
188
189     DueTimerInterrupt& attachInterrupt(timerCallback callback)
190     __attribute__((always_inline))
191     {
192         /*
193          * Links the function passed as argument to the timer of the
194          * object
195          */
196         _callbacks[_timerNumber] = callback;
197
198         return *this;
199     }
200 }
```



```
195 DueTimerInterrupt& detachInterrupt()  
    __attribute__((always_inline))  
196 {  
197     /*  
198     Links the function passed as argument to the timer of the  
    object  
199     */  
200  
201     stopTimer(); // Stop the currently running timer  
202  
203     _callbacks[_timerNumber] = NULL;  
204  
205     return *this;  
206 }  
207  
208 DueTimerInterrupt& startTimer(double microseconds= -1)  
    __attribute__((always_inline))  
209 {  
210     /*  
211     Start the timer  
212     If a period is set, then sets the period and start the timer  
213     If not period => default to 1Hz  
214     */  
215  
216     if (microseconds > 0)  
217         setPeriod(microseconds);  
218  
219     if (_frequency[_timerNumber] <= 0)  
220         setFrequency(1);  
221  
222     NVIC_ClearPendingIRQ(Timers[_timerNumber].irq);  
223     NVIC_EnableIRQ(Timers[_timerNumber].irq);  
224  
225     TC_Start(Timers[_timerNumber].tc, Timers[_timerNumber].channel);  
226  
227     return *this;  
228 }  
229  
230 DueTimerInterrupt& restartTimer(double microseconds= -1)  
    __attribute__((always_inline))  
231 {  
232     /*  
233     Restart the timer  
234     If a period is set, then sets the period and start the timer  
235     If not period => default to 1Hz  
236     */  
237     // If not yet initialized, set 1Hz  
238     if (_frequency[_timerNumber] <= 0)  
239     {  
240         setFrequency(1);  
241     }  
242     else if (microseconds < 0)  
243     {  
244         // Using previous settings if no argument (microseconds = -1)
```

```

245         setFrequency(_frequency[_timerNumber]);
246     }
247     else
248     {
249         setPeriod(microseconds);
250     }
251
252     NVIC_ClearPendingIRQ(Timers[_timerNumber].irq);
253     NVIC_EnableIRQ(Timers[_timerNumber].irq);
254
255     TC_Start(Timers[_timerNumber].tc, Timers[_timerNumber].channel);
256
257     return *this;
258 }
259
260 DueTimerInterrupt& stopTimer()    attribute    ((always_inline))
261 {
262     /*
263     Stop the timer
264     */
265
266     NVIC_DisableIRQ(Timers[_timerNumber].irq);
267
268     TC_Stop(Timers[_timerNumber].tc, Timers[_timerNumber].channel);
269
270     return *this;
271 }
272
273 DueTimerInterrupt& disableTimer()
274 {
275     return stopTimer();
276 }
277
278 // Picks the best clock to lower the error
279 static uint8_t bestClock(double frequency, uint32_t& retRC)
280 {
281     /*
282     Pick the best Clock, thanks to Ogle Basil Hall!
283
284     Timer    Definition
285     TIMER_CLOCK1    MCK / 2
286     TIMER_CLOCK2    MCK / 8
287     TIMER_CLOCK3    MCK / 32
288     TIMER_CLOCK4    MCK /128
289     */
290     const struct
291     {
292         uint8_t flag;
293         uint8_t divisor;
294     } clockConfig[] =
295     {
296         { TC_CMR_TCCLKS_TIMER_CLOCK1,    2 },
297         { TC_CMR_TCCLKS_TIMER_CLOCK2,    8 },
298         { TC_CMR_TCCLKS_TIMER_CLOCK3,    32 },

```

```

299     { TC_CMR_TCCLKS_TIMER_CLOCK4, 128 }
300     };
301
302     float ticks;
303     float error;
304     int clkId      = 3;
305     int bestClock  = 3;
306     float bestError = 9.999e99;
307
308     do
309     {
310         ticks = (float) SystemCoreClock / frequency / (float)
            clockConfig[clkId].divisor;
311         // error = abs(ticks - round(ticks));
312         error = clockConfig[clkId].divisor * abs(ticks -
            round(ticks)); // Error comparison needs scaling
313
314         if (error < bestError)
315         {
316             bestClock = clkId;
317             bestError = error;
318         }
319     } while (clkId-- > 0);
320
321     ticks = (float) SystemCoreClock / frequency / (float)
            clockConfig[bestClock].divisor;
322     retRC = (uint32_t) round(ticks);
323
324     return clockConfig[bestClock].flag;
325 }
326
327
328 DueTimerInterrupt& setFrequency(double frequency)
329 {
330     /*
331      * Set the timer frequency (in Hz)
332      */
333
334     // Prevent negative frequencies
335     if (frequency <= 0)
336     {
337         frequency = 1;
338     }
339
340     // Remember the frequency – see below how the exact frequency
            is reported instead
341     //_frequency[_timerNumber] = frequency;
342
343     // Get current timer configuration
344     DueTimerIRQInfo timerIRQInfo = Timers[_timerNumber];
345
346     uint32_t rc = 0;
347     uint8_t clock;
348

```

```

349 // Tell the Power Management Controller to disable
350 // the write protection of the (Timer/Counter) registers:
351 pmc_set_writeprotect(false);
352
353 // Enable clock for the timer
354 pmc_enable_periph_clk((uint32_t)timerIRQInfo.irq);
355
356 // Find the best clock for the wanted frequency
357 clock = bestClock(frequency, rc);
358
359 switch (clock)
360 {
361     case TC_CMR_TCCLKS_TIMER_CLOCK1:
362         frequency[_timerNumber] = (double)SystemCoreClock / 2.0 /
            (double)rc;
363         break;
364     case TC_CMR_TCCLKS_TIMER_CLOCK2:
365         frequency[_timerNumber] = (double)SystemCoreClock / 8.0 /
            (double)rc;
366         break;
367     case TC_CMR_TCCLKS_TIMER_CLOCK3:
368         frequency[_timerNumber] = (double)SystemCoreClock / 32.0
            / (double)rc;
369         break;
370     default: // TC_CMR_TCCLKS_TIMER_CLOCK4
371         frequency[_timerNumber] = (double)SystemCoreClock / 128.0
            / (double)rc;
372         break;
373 }
374
375 // Set up the Timer in waveform mode which creates a PWM
376 // in UP mode with automatic trigger on RC Compare
377 // and sets it up with the determined internal clock as clock
378 // input.
379 TC_Configure(timerIRQInfo.tc, timerIRQInfo.channel,
380 TC_CMR_WAVE | TC_CMR_WAVSEL_UP_RC | clock);
381
382 // Reset counter and fire interrupt when RC value is matched:
383 TC_SetRC(timerIRQInfo.tc, timerIRQInfo.channel, rc);
384
385 // Enable the RC Compare Interrupt.
386 timerIRQInfo.tc->TC_CHANNEL[timerIRQInfo.channel].TC_IER =
387 TC_IER_CPCS;
388
389 // ... and disable all others.
390 timerIRQInfo.tc->TC_CHANNEL[timerIRQInfo.channel].TC_IDR =
391 ~TC_IER_CPCS;
392
393 return *this;
394 }
395
396 DueTimerInterrupt& setPeriod(double microseconds)
397 __attribute__((always_inline))
398 {

```

```
394      /*
395       * Set the period of the timer (in microseconds)
396       */
397
398      // Convert period in microseconds to frequency in Hz
399      double frequency = 1000000.0 / microseconds;
400
401      setFrequency(frequency);
402
403      return *this;
404  }
405
406  DueTimerInterrupt& setInterval(double microseconds)
407  __attribute__((always_inline))
408  {
409      return setPeriod(microseconds);
410  }
411
412  double getFrequency() const __attribute__((always_inline))
413  {
414      /*
415       * Get current time frequency
416       */
417      return _frequency[_timerNumber];
418  }
419
420  double getPeriod() const __attribute__((always_inline))
421  {
422      /*
423       * Get current time period
424       */
425      return 1.0 / getFrequency() * 1000000;
426  }
427
428  uint16_t getTimerNumber()
429  {
430      return _timerNumber;
431  }
432
433  bool operator==(const DueTimerInterrupt& rhs) const
434  __attribute__((always_inline))
435  {
436      return _timerNumber == rhs._timerNumber;
437  };
438
439  bool operator!=(const DueTimerInterrupt& rhs) const
440  __attribute__((always_inline))
441  {
442      return _timerNumber != rhs._timerNumber;
443  };
444  };
```

```

445  //////////////////////////////////////
446
447  const DueTimerIRQInfo DueTimerInterrupt::Timers[NUM_TIMERS] =
448  {
449      { TC0, 0, TC0_IRQn },
450      { TC0, 1, TC1_IRQn },
451      { TC0, 2, TC2_IRQn },
452      { TC1, 0, TC3_IRQn },
453      { TC1, 1, TC4_IRQn },
454      { TC1, 2, TC5_IRQn },
455
456      #if defined(TC2)
457          { TC2, 0, TC6_IRQn },
458          { TC2, 1, TC7_IRQn },
459          { TC2, 2, TC8_IRQn },
460      #endif
461  };
462
463  // Fix for compatibility with Servo library
464  #if USING_SERVO_LIB
465      // Set _callbacks as used, allowing
466      // DueTimerInterrupt::getAvailable() to work
467      void (*DueTimerInterrupt::_callbacks[NUM_TIMERS])() =
468      {
469          (void (*)()) 1, // Timer 0 - Occupied
470          (void (*)()) 0, // Timer 1
471          (void (*)()) 1, // Timer 2 - Occupied
472          (void (*)()) 1, // Timer 3 - Occupied
473          (void (*)()) 1, // Timer 4 - Occupied
474          (void (*)()) 1, // Timer 5 - Occupied
475
476          #if defined(TC2)
477              (void (*)()) 0, // Timer 6
478              (void (*)()) 0, // Timer 7
479              (void (*)()) 0, // Timer 8
480          #endif
481      };
482  #else
483      void (*DueTimerInterrupt::_callbacks[NUM_TIMERS])() = {};
484  #endif
485
486  #if defined(TC2)
487      double DueTimerInterrupt::_frequency[NUM_TIMERS] = { -1, -1, -1,
488          -1, -1, -1, -1, -1, -1};
489  #else
490      double DueTimerInterrupt::_frequency[NUM_TIMERS] = { -1, -1, -1,
491          -1, -1, -1};
492  #endif
493
494  /*
495   Initializing all timers, so you can use them like this:
496   Timer0.startTimer();
497   */

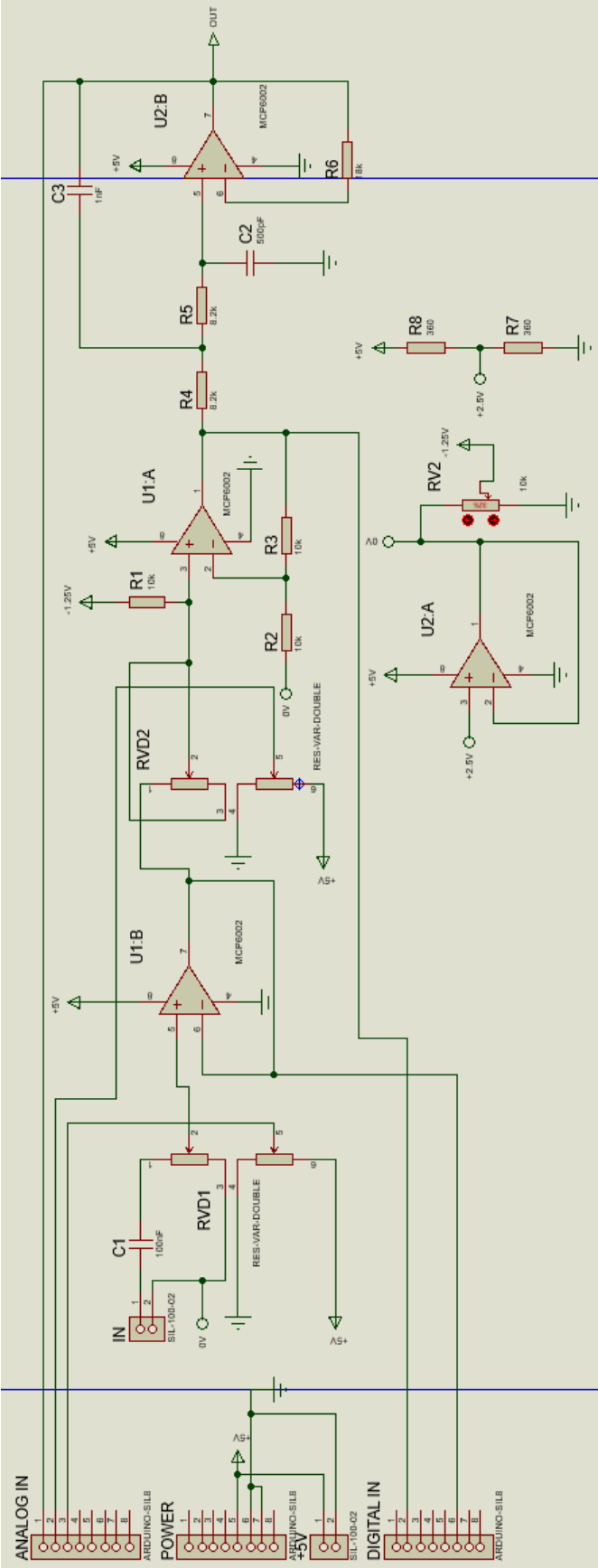
```

```
495 DueTimerInterrupt DueTimer(0);
496
497 DueTimerInterrupt Timer1(1);
498
499 // Fix for compatibility with Servo library
500 #if ( !USING_SERVO_LIB || !defined(USING_SERVO_LIB) )
501     DueTimerInterrupt Timer0(0);
502     DueTimerInterrupt Timer2(2);
503     DueTimerInterrupt Timer3(3);
504     DueTimerInterrupt Timer4(4);
505     DueTimerInterrupt Timer5(5);
506 #endif
507
508 #if defined(TC2)
509     DueTimerInterrupt Timer6(6);
510     DueTimerInterrupt Timer7(7);
511     DueTimerInterrupt Timer8(8);
512 #endif
513
514 DueTimerInterrupt DueTimerPtr[NUM_TIMERS] =
515 {
516     #if ( !USING_SERVO_LIB || !defined(USING_SERVO_LIB) )
517         Timer0,
518     #endif
519
520     Timer1,
521
522     #if ( !USING_SERVO_LIB || !defined(USING_SERVO_LIB) )
523         Timer2,
524         Timer3,
525         Timer4,
526         Timer5,
527     #endif
528
529     #if defined(TC2)
530         Timer6,
531         Timer7,
532         Timer8
533     #endif
534 };
535
536 ///////////////////////////////////////////////////////////////////
537 /
538 /*
539  Implementation of the timer _callbacks defined in
540
541     arduino-1.5.2/hardware/arduino/sam/system/CMSIS/Device/ATMEL/sam3xa/
542     include/sam3x8e.h
543 */
544 // Fix for compatibility with Servo library
545 #if ( !USING_SERVO_LIB || !defined(USING_SERVO_LIB) )
546
547 void TC0_Handler()
```



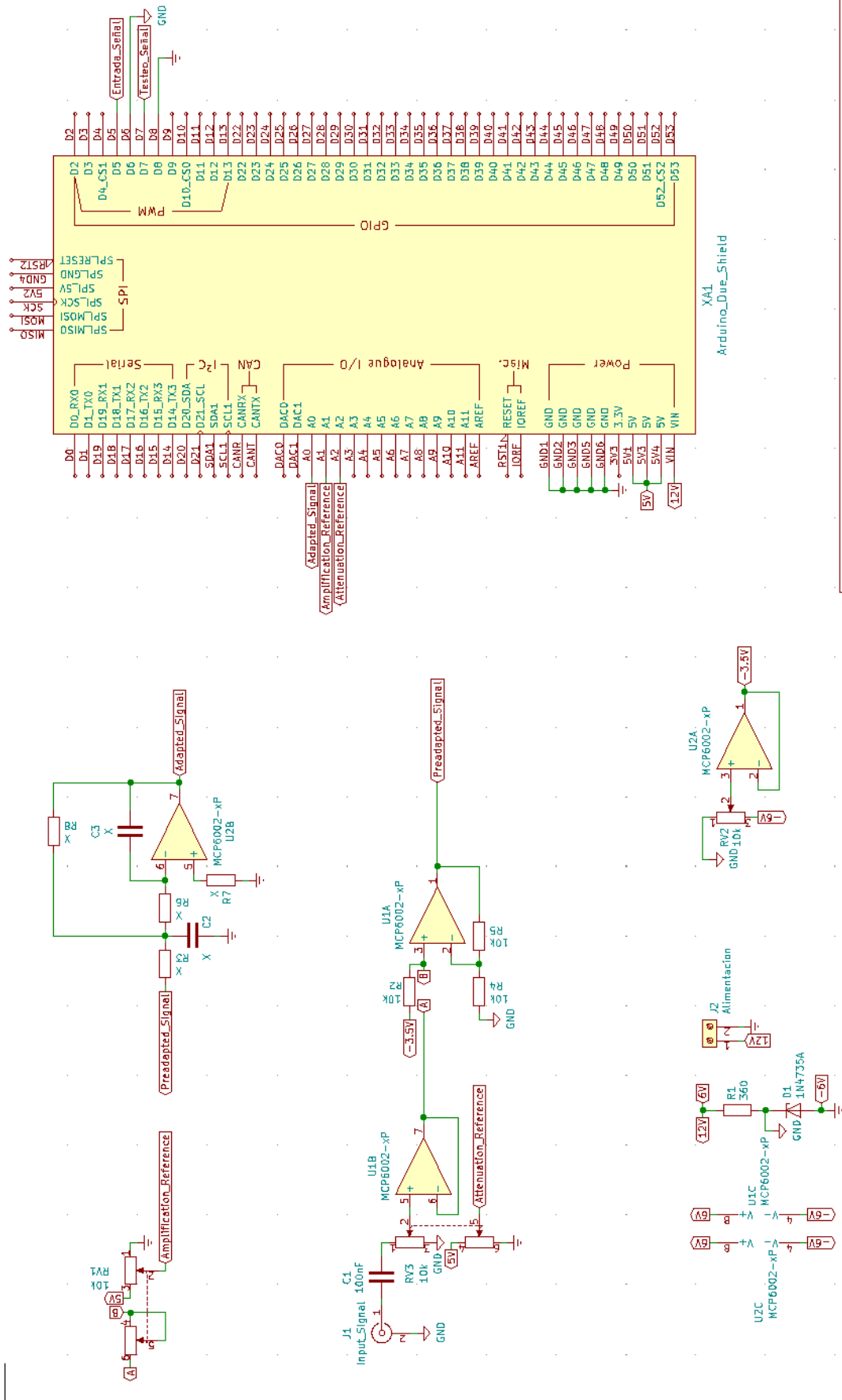
```
546 {
547     TC_GetStatus(TC0, 0);
548     DueTimerInterrupt::_callbacks[0]();
549 }
550
551 #endif
552
553 void TC1_Handler()
554 {
555     TC_GetStatus(TC0, 1);
556     DueTimerInterrupt::_callbacks[1]();
557 }
558
559 // Fix for compatibility with Servo library
560 #if ( !USING_SERVO_LIB || !defined(USING_SERVO_LIB) )
561
562 void TC2_Handler()
563 {
564     TC_GetStatus(TC0, 2);
565     DueTimerInterrupt::_callbacks[2]();
566 }
567
568 void TC3_Handler()
569 {
570     TC_GetStatus(TC1, 0);
571     DueTimerInterrupt::_callbacks[3]();
572 }
573
574 void TC4_Handler()
575 {
576     TC_GetStatus(TC1, 1);
577     DueTimerInterrupt::_callbacks[4]();
578 }
579
580 void TC5_Handler()
581 {
582     TC_GetStatus(TC1, 2);
583     DueTimerInterrupt::_callbacks[5]();
584 }
585 #endif
586
587 #if defined(TC2)
588
589 void TC6_Handler()
590 {
591     TC_GetStatus(TC2, 0);
592     DueTimerInterrupt::_callbacks[6]();
593 }
594
595 void TC7_Handler()
596 {
597     TC_GetStatus(TC2, 1);
598     DueTimerInterrupt::_callbacks[7]();
599 }
```

```
600
601 void TC8_Handler()
602 {
603     TC_GetStatus(TC2, 2);
604     DueTimerInterrupt::_callbacks[8]();
605 }
606 #endif
607
608 #endif // SAMDUETIMERINTERRUPT_H
609
```



Apéndice A.6:

Esquemático Placa Arduino Due



Apéndice A.6:

Esquemático Placa Arduino Due

```

1  /*
2      MODELO DE PRUEBA de ANALIZADOR DE ESPECTRO
3      Catedra: MEDIDAS ELECTRONICAS II
4      Docentes: C. Cappelletti, M. F. Krenz
5      Grupo N°: 3
6      Alumnos: A. A. Baldini, N. H. Gimenez, T. A. Pentacolo, L. D.
7      Rispoli.
8  */
9  /*
10     En este ejemplo, el programa (mediante un loop) habilita la
11     conversión de datos por el ADC; para luego, aplicar el filtro
12     Hamming a los datos.
13     Una vez limpio esto, se procede al cálculo de la respectiva FFT y
14     preparamos el espectro para solo ver el Diagrama de Amplitud.
15     Finalmente se procede a mostrar el mismo.
16 */
17
18 //Declaraciones_____
19 //Con cambios_____
20
21 #include <arduinoFFT.h>
22 #include "SAMDUETimerInterrupt.h"
23
24 #define pin_ADC  A7                //Configuracion PIN OUT. Nueva
25                               Linea.
26 #define pin_atte A5                //Configuración PIN OUT. Nueva
27                               Linea.
28 #define pin_gan  A6                //Configuración PIN OUT. Nueva
29                               Linea.
30
31 uint16_t Timer_Index = 0;          // Identificador del Timer.
32
33 const uint16_t samples = 32;      // Cantidad de muestras a
34                               analizar.
35
36 const double Fm = 1E5;            // Frecuencia de muestreo.
37
38 arduinoFFT FFT = arduinoFFT();    // Creo el objeto FFT.
39
40 double vReal[samples];            // Vector que contendrá los
41                               valores adquiridos en el ADC.
42
43 double vAnalog[samples];          // Vector que contendrá los
44                               valores reales calculados en la FFT.
45
46 double vImag[samples];            // Vector que contendrá los
47                               valores imaginarios.
48
49 //TimerHandler1_____
50 //Con cambios_____
51
52 void TimerHandler1()
53 /*
54  *   TimerHandle1();
55  *   En este método se produce la rotación de los datos adquiridos
56  *   y se añade al inicio del vector el nuevo dato adquirido.
57 */

```

```
44  */
45  {
46    PIOB->PIO_ODSR = 1<<25;           // Escribo un 1 en el pin 25
    del puerto B.
47
48    for (int i = samples; i > 0; i--)   // Rotamos el vector.
49    {
50      vReal[i] = vReal[i-1];
51    }
52
53    vReal[0] = analogRead(pin_ADC);     // Leemos el nuevo dato.
    Linea modificada
54
55    PIOB->PIO_ODSR = 0;                 // Escribo un 0 en el pin 25
    del puerto B.
56  }
57
58  //setup_____
59
60  void setup() {
61    PIOB->PIO_PER = (1<<25);
    // Configuramos el puerto B para controlarlo por PIO.
62    PIOB->PIO_OER = (1<<25);
    // Establecemos el pin 25 del puerto B como salida.
63
64    analogReadResolution(10);
    // Establecemos la resolución del ADC en 10 bits.
65
66    for (int i = 0; i < samples; i++)
67    {
68      vReal[i] = 0;
69      vAnalog[i] = 0;
70      vImag[i] = 0;
71    }
72
73    DueTimerInterrupt dueTimerInterrupt = DueTimer.getAvailable();
    // Creamos un objeto DueTimerInterrupt (administra interrupción de
    Timer).
74    dueTimerInterrupt.attachInterruptInterval(10, TimerHandler1);
    // Establecemos una interrupción cada 10 [us], obteniendo una
    frecuencia de 100[kHz].
75    Timer_Index = dueTimerInterrupt.getTimerNumber();
    // Obtenemos el identificador del Timer.
76
77    Serial.begin(115200);
    // Inicializamos el puerto serie.
78    while(!Serial);
    // Esperamos a que finalice la inicialización.
79    Serial.println("Ready");
80    adc_start(ADC);
    // Iniciamos la conversión del ADC.
81  }
82
```

```

83  //loop_____
84  //Con cambios_____
85
86  void loop() {
87      DueTimerPtr[Timer_Index].stopTimer();
88      // Pausamos el Timer.
89
90      for (int i = 0; i < samples; i++)
91      {
92          float atte = 1 - (float)analogRead(pin_atte) / (float)1024;
93          // Obtenemos la referencia de la atenuación.
94          float gan = (float)1024 / (float)analogRead(pin_gan) ;
95          // Obtenemos la referencia de la ganancia.
96          vAnalog[i] = vReal[i] - 512;
97          // Copiamos los valores adquiridos hasta el momento y eliminamos
98          // la componente de continua.
99          vAnalog[i] = vAnalog[i] * 3.3 * atte * gan / (float)1024;
100         // Convertimos los valores digitales a valores reales.
101         vImag[i] = 0;
102         // Limpiamos los valores imaginarios.
103     }
104
105     DueTimerPtr[Timer_Index].startTimer();
106     // Activamos nuevamente el Timer.
107     FFT.Windowing(vAnalog, samples, FFT_WIN_TYP_HAMMING, FFT_FORWARD);
108     // Aplicamos la ventana Hamming al los datos adquiridos.
109     FFT.Compute(vAnalog, vImag, samples, FFT_FORWARD);
110     // Aplicamos la FFT a los datos adquiridos.
111     FFT.ComplexToMagnitude(vAnalog, vImag, samples);
112     // Obtenemos la amplitud del espectro calculado.
113     PrintVector(vAnalog, (samples >> 1));
114     // Transmitimos la magnitud del espectro calculado.
115     delay(100);
116     // Esperamos 100 [ms].
117 }
118
119 //PrintVector_____
120 //Con cambios_____
121
122 void PrintVector(double *vData, uint16_t bufferSize)
123 /*
124  * PrintVector(double *vData, uint16_t bufferSize);
125  * double *vData: Es el vector que apunta a los datos a imprimir.
126  * uint16_t bufferSize: Cantidad de datos contenidos en el vector.
127  *
128  * Este método calcula el valor de frecuencia correspondiente a cada
129  * elemento
130  * del vector, y transmite tanto la frecuencia calculada como su
131  * valor de
132  * espectro.
133  */
134 {
135     for (uint16_t i = 0; i < bufferSize; i++)
136         // Por cada elemento.

```

```
121     {
122         double abscissa;
123         abscissa = ((i * 1.0 * Fm) / samples);
124         // Obtenemos el valor de frecuencia correspondiente.
125         Serial.print(abscissa, 6);
126         Serial.print(" ");
127         Serial.println(vData[i], 4);
128         // Transmitimos la información.
129     }
130     Serial.println();
131 }
```

```
1
2  %   MODELO DE PRUEBA de ANALIZADOR DE ESPECTRO
3  %   Catedra: MEDIDAS ELECTRONICAS II
4  %   Docentes: C. Cappelletti, M. F. Krenz
5  %   Grupo N°: 3
6  %   Alumnos: A. A. Baldini, N. H. Gimenez, T. A. Pentacolo, L. D.
    Rispoli.
7
8
9
10 % En este ejemplo, el programa inicia la comunicación para que el
    Arduino obtenga los datos a mostrar obtenidos desde nuestra placa.
11 % Finalmente se procede a mostrar el mismo.
12
13 % Inicialización del entorno de trabajo_____
14
15 clc;
16 clear all;
17 close all;
18 commandwindow;
19
20 % Configuración con el usuario_____
21
22 puerto = input('Ingrese el puerto al que desea comunicarse: ej.
    COM1\n');
23 % Ingreso del puerto a comunicarse.
24
25 % Inicialización de las variables y objetos_____
26
27 analizador = serial(puerto, 'baudrate', 115200);
28 % Inicializa la comunicación con el puerto.
29 fopen(analizador);
30
31 freq = zeros(16, 1);
32 amp = zeros(16, 1);
33 h = figure; % Obtiene un Figure para plotear.
34 visor = [];
35 existe = 1;
36 tic
37
38 % Loop_____
39
40 while (existe)
41 % Si el elemento figure existe en la pantalla.
42     i = 1;
43     while (i <= 16)
44         if (analizador.BytesAvailable >
45             0)
46             % Mientras existan datos para leer.
47             data = 0;
48             while (length(data) <
49                 2)
50                 % Y se obtengan dos datos (haciendo referencia a la
51                 frecuencia y a la amplitud).
```

```
49         data = fscanf(analizador, '%f
50         %f\n');
51         % Obtiene los datos.
52     end
53     if ((i == 1 && data(1) == 0) | i ~=
54         1)
55         % Sincroniza los datos para que el primero sea el de la
56         frecuencia 0[Hz].
57         freq(i) = data(1);
58         amp(i) = data(2);
59         i = i+1;
60     end
61 end
62 if
63     isempty(visor)
64     % Si el elemento figure esta vacío.
65     visor = plot(freq, amp, '-'); % Grafica los datos.
66     title('Espectro');
67     xlabel('Frecuencia [Hz]');
68     ylabel('Amplitud [V]');
69 else
70     set(visor, 'YData', amp, 'XData',
71         freq);
72     % Si no está vacío, simplemente actualizo los datos.
73 end
74 drawnow; % Actualiza la gráfica.
75 pause(0.1); % Espera 100 [ms] para volver a leer.
76 existe = ishandle(visor);
77 end
78 % Finaliza la aplicación
79 toc
80 fclose(analizador); % Corta la conexión con el puerto.
81 disp('Se ha cerrado la conexión.');
```